

УДК 539.37

**СВОЙСТВА СЕМЕЙСТВА ДИАГРАММ ДЕФОРМИРОВАНИЯ,  
ПОРОЖДАЕМЫХ НЕЛИНЕЙНЫМ СООТНОШЕНИЕМ РАБОТНОВА  
ДЛЯ РЕОНОМНЫХ МАТЕРИАЛОВ**

© 2019 г. А. В. Хохлов

*НИИ механики МГУ им. М.В. Ломоносова, Москва, Россия*

*e-mail: andrey-khokhlov@ya.ru*

Поступила в редакцию 22.12.2016 г.

После доработки 23.08.2017 г.

Принята к публикации 08.11.2017 г.

Аналитически исследовано нелинейное определяющее соотношение Работнова с двумя произвольными материальными функциями для реономных материалов в одномерном случае. Выведено уравнение семейства теоретических диаграмм деформирования при постоянных скоростях нагружения, аналитически изучены их общие качественные свойства в зависимости от свойств материальных функций: интервалы монотонности и выпуклости диаграмм деформирования, характер их зависимости от скорости нагружения, существование и вид предельных кривых при стремлении скорости нагружения к нулю или бесконечности, условия существования точки перегиба и предельного напряжения (напряжения течения), условия обрыва (моделирования разрушения), формулы для мгновенного и длительного модулей, условия их конечности и отличия от нуля.

На основе сравнения свойств теоретических диаграмм с типичными свойствами экспериментальных диаграмм реономных материалов установлены минимальные ограничения на материальные функции, обеспечивающие адекватное описание основных реологических эффектов, найдены индикаторы применимости определяющего соотношения и те эффекты, которые оно не может описать ни при каких материальных функциях. Выявлены характерные особенности диаграмм деформирования трех основных классов моделей: с регулярной, неограниченной и сингулярной функцией релаксации. Арсенал возможностей определяющего соотношения Работнова сопоставлен с возможностями линейного определяющего соотношения вязкоупругости (из которого оно получено введением второй материальной функции), указаны дополнительные эффекты, которые нелинейное определяющее соотношение способно описывать по сравнению с линейным за счет второй материальной функции.

*Ключевые слова:* наследственность, разносопротивляемость, диаграммы деформирования, скоростная чувствительность, мгновенный модуль, длительный модуль, регулярные и сингулярные модели, идентификация

DOI: 10.1134/S0572329919020077

**1. Введение.** Нелинейное определяющее соотношение (ОС) Работнова [1–19] описывает одномерные изотермические процессы деформирования структурно-стабильных (нестареющих) реономных материалов, связывая истории напряжения  $\sigma(t)$  и деформации  $\varepsilon(t)$  в данной точке тела:

$$\varphi(\varepsilon(t)) = \int_0^t \Pi(t - \tau) d\sigma(\tau), \quad \sigma(t) = \int_0^t R(t - \tau) \varphi'(\varepsilon(\tau)) d\varepsilon(\tau), \quad t \geq 0 \quad (1.1)$$

Здесь  $\Pi(t)$ ,  $R(t)$  – функции ползучести и релаксации, а  $\varphi(u)$  – дополнительная материальная функция (МФ), введенная Ю.Н. Работновым [1–3]. Входные процессы ( $\sigma(t)$  или  $\varepsilon(t)$ ) предполагаются кусочно непрерывными и кусочно-гладкими на любом отрезке. ОС (1.1) обобщает линейное ОС вязкоупругости (получающееся при  $\varphi(u) = u$ ):

$$\varepsilon(t) = \int_0^t \Pi(t - \tau) d\sigma(\tau), \quad \sigma(t) = \int_0^t R(t - \tau) d\varepsilon(\tau), \quad t \geq 0 \quad (1.2)$$

Если  $\Pi(0+) \neq 0$  (модель регулярна), то  $R(0+) < \infty$  и на линейном непрерывных кусочно-гладких при  $t \geq 0$  функций (взаимно обратные) операторы (1.1) представимы в виде

$$\varphi(\varepsilon(t)) = \Pi(0)\sigma(t) + \int_0^t \dot{\Pi}(t - \tau)\sigma(\tau) d\tau, \quad \sigma(t) = R(0)\varphi(\varepsilon(t)) + \int_0^t \dot{R}(t - \tau)\varphi(\varepsilon(\tau)) d\tau, \quad (1.3)$$

ОС (1.3) с регулярной ФП было предложено Ю.Н. Работновым еще в 1948 г. [1]. В [1–3] ОС (1.3) называлось “соотношением наследственной теории ползучести” и “пластичности”, в [4] было дано название “нелинейная теория наследственности”. В англоязычных публикациях ОС (1.1) называется уравнением квазилинейной вязкоупругости (“QLV”) [20–37], а его автором считается Y.C. Fung со ссылками на его работы 1970–1990-х годов [20, 25]. В [1–19] ОС (1.1) прилагались к описанию поведения металлов и сплавов, стеклопластиков, графита, а в [20–37] – связок, сухожилий и др. биологических тканей. В работах [1–19] авторы рассматривали случай малых деформаций (и номинальных напряжений), выбирали ядро ползучести степенным или дробно-экспоненциальным ядром Работнова, его параметры (3–4 штуки) находили по кривым ползучести в линейной области (где  $\varphi(u) = u$ ), а затем МФ  $\varphi(u)$  определяли численно в отдельных точках по экспериментальным кривым ползучести и деформирования – без использования аналитических представлений для  $\varphi$  (за исключением полинома четвертого порядка в [5, 9] и степенной функции  $\varphi(u) = cu^{0.75}$  в [17]), “при помощи программ Maple и Excel” [17]. Тщательное аналитическое изучение общих свойств основных квазистатических кривых (кривых ползучести и релаксации с произвольной начальной стадией нагружения до заданного уровня, ползучести при ступенчатых нагружениях, диаграмм деформирования при постоянных и кусочно постоянных скоростях нагружения, при циклическом нагружении и др.), порождаемых ОС (1.1) с произвольными МФ  $\Pi(t)$  и  $\varphi(u)$ , систематическое исследование комплекса моделируемых (и не моделируемых) эффектов в зависимости от характеристик МФ и необходимых феноменологических ограничений на МФ  $\varphi$  не проводились в [1–37]; границы области применимости ОС (1.1) и их маркёры (за исключением требования подобия изохронных кривых ползучести в [1–9] и подобия кривых релаксации в [31–33]) выявлены не были. Аналитическое исследование этих свойств в общем виде (даже при малых деформациях в одноосном случае) или хотя бы краткий перечень отсутствуют в литературе по вязкоупругости, вязкопластичности, ползучести и механике полимеров, в частности, в монографиях [3, 9, 32, 38–48]).

Цель данной статьи (и всего цикла работ [49–52]), посвященных анализу ОС (1.1) – восполнить указанные пробелы, выявить возможности и преимущества ОС (1.1) (как по сравнению с линейным ОС (1.2), так и с более сложными нелинейными ОС) и способствовать расширению и уточнению сферы его обоснованного применения в моделировании поведения реономных материалов с выраженной нелинейной наследственностью и скоростной чувствительностью (полимеров, композитов, пен, керамики, асфальтобетонов, твердых топлив, алюминиевых и титановых сплавов, нержавеющей сталей, связок, сухожилий, стенок сосудов и других биологических тканей). Задача данной статьи – изучение общих свойств диаграмм деформирования (ДД) при постоянных скоростях нагружения, порожденных ОС (1.1) с произвольными МФ

$\Pi$  и  $\varphi$ , – как унаследованных от ДД линейного ОС (1.2), так и новых, специфических для нелинейного ОС (1.1).

К ОС (1.1) применяется технология качественного анализа определяющих соотношений для реономных материалов, разработанная ранее автором в цикле работ [53–63]. В них изучены два новых нелинейных ОС, учитывающие историю деформирования (или нагружения) и старение материала [53–55], линейное ОС вязкоупругости (1.2) [56–59] и нелинейная модель типа Максвелла с двумя МФ [60–63]. Все эти ОС, как и (1.1), нацелены на описание комплекса основных реологических эффектов, типичных для материалов, обладающих наследственностью и высокой чувствительностью к скорости деформирования (нагружения).

В статье приняты следующие сокращения и обозначения: МФ – материальные функции;  $(\omega_-; \omega_+)$  и  $(\underline{x}; \bar{x})$  – области определения и значений МФ  $\varphi(u)$ ,  $\bar{x} := \sup \varphi(x)$ ;  $\omega$  – краткое обозначение для  $\omega_+$ ;  $D_\varphi := [0; \omega)$ ;  $\Phi = \varphi^{-1}$ ,  $D_\Phi := [0; \bar{x})$ ; ДД – диаграмма деформирования  $\sigma(\varepsilon, b)$  при постоянной скорости нагружения (СН)  $b$ ; ФР и ФП (КР, КП) – функции (кривые) релаксации и ползучести;  $h(t)$  – функция Хевисайда,  $\delta(t)$  – дельта-функция; РеМ – регулярные модели ( $\Pi(0) \neq 0$ ); СиМ – сингулярные модели (ФР содержит слагаемое  $\eta\delta(t)$ );  $y(0) := y(0+) – \text{предел функции } y(t) \text{ справа в т. } t = 0$ .

**2. Материальные функции соотношения Работнова.** Линейное ОС вязкоупругости (1.2), инвариантное относительно сдвигов по времени, получается из (1.1) при  $\varphi(u) = u$  и содержит лишь одну независимую МФ, так как ФП и ФР связаны условием взаимной обратности интегральных операторов (1.2) (“the interconversion relation”):

$$\int_0^t \Pi(t - \tau)R(\tau)d\tau = t, \quad \text{или} \quad \int_0^t \dot{\Pi}(t - \tau)R(\tau)d\tau + \Pi(0)R(t) = 1, \quad t > 0 \quad (2.1)$$

Зная ФР, можно найти ФП из уравнения (2.1), и наоборот. Поэтому из трех МФ  $\varphi$ ,  $\Pi$ ,  $R$  в ОС (1.1) лишь две независимы, а тождество (2.1) является условием взаимной обратности операторов (1.1), отображающих друг в друга функции  $\sigma(t)$  и  $\varepsilon(t) = \varphi(\varepsilon(t))$ .

На ФП и ФР в ОС (1.1) наложим априори те же минимальные ограничения, что и в линейной теории:  $\Pi(t)$  и  $R(t)$  должны быть положительными и дифференцируемыми на интервале  $(0; \infty)$ ,  $\Pi(t)$  – возрастающей, выпуклой вверх, а ФР  $R(t)$  – убывающей и выпуклой вниз на  $(0; \infty)$  (ФР может иметь интегрируемую особенность или  $\delta$ -сингулярность в точке  $t = 0$ ). Из этих условий следует, в частности, существование пределов  $\Pi(0+) \geq 0$ ,  $\dot{\Pi}(+\infty) \geq 0$  и  $R(+\infty) \geq 0$  [57].

Свойства основных теоретических кривых, порождаемых линейным ОС вязкоупругости (1.2) с произвольной ФП, и необходимые феноменологические ограничения на ФП и ФР проанализированы в цикле работ [56–59] и др. Анализ, в частности, показал, что среди моделей, описываемых ОС (1.2) с различными ФР и ФП, необходимо различать (как минимум) три основных класса, поскольку качественные свойства базовых кривых моделей этих классов (а также особенности постановки и решения краевых задач) заметно отличаются: 1) регулярные модели (РеМ) – у которых  $\Pi(0) \neq 0$  (тогда мгновенный модуль  $E = R(0+) = 1/\Pi(0+)$  конечен, а ОС (1.2) и первое уравнение (2.1) сводятся к уравнениям Вольтерры второго рода (1.3) с  $\varphi(u) = u$  и (2.1)); 2) сингулярные (СиМ) – с ФР, содержащей слагаемое  $\eta\delta(t)$ ,  $\eta > 0$  (ФР  $R = \eta\delta(t)$  задает ньютоновскую жидкость с ОС  $\sigma = \eta\dot{\varepsilon}$  и входит слагаемым в ФР “половины” реологических моделей из пружин и демпферов), тогда  $\Pi(0) = 0$  и  $\dot{\Pi}(0) = \eta^{-1}$ ; 3) нерегулярные модели с неограниченной ФР (НеМ), не содержащей слагаемого  $\eta\delta(t)$ , но имеющей интегрируемую особенность в т.  $t = 0$  ( $R(0+) = +\infty$ ). Третий класс занимает промежуточное положение между первыми двумя. К нему относится, например, ФР

$R(t) = At^{-u}$ ,  $u \in (0; 1)$ ,  $A > 0$ , задающая “фрактальный” элемент “фрактальных” моделей (“fractional models”); соответствующая ФП имеет вид  $\Pi(t) = A^{-1}C(u)t^u$ ,  $C(u) = (\pi t)^{-1} \sin \pi u$ , и обладает не только свойством  $\Pi(0) = 0$ , как и СиМ, но и свойством  $\dot{\Pi}(0) = \infty$ , переходным к  $\Pi(0) \neq 0$ , характеризующему РеМ.

Линейным ОС (1.2) задаются, в частности, все модели, собранные из линейных пружин и демпферов посредством параллельных и последовательных соединений (ФП классических реологических моделей будут использованы для иллюстрации общих свойств ДД ОС (1.1)). Можно доказать, что множество всех несократимых  $n$ -звенных моделей распадается ровно на два класса эквивалентности: РеМ- $n$  и СиМ- $n$  (структурно различные модели эквивалентны, если задаются одинаковыми семействами ФП или ФР). В частности, эквивалентны друг другу трехзвенные РеМ Пойнтинга–Томсона и Кельвина ([57], фиг. 1а), а все четыре РеМ-4 ([57], фиг. 1в) эквивалентны модели стандартного тела (последовательному соединению моделей Максвелла и Фойгта, т.е. РеМ-2 и СиМ-2). Например, семейство

$$\Pi(t) = \alpha t + \beta - \gamma e^{-\lambda t}, \quad \lambda > 0, \quad \alpha, \beta \geq 0, \quad \gamma \in [0, \beta] \quad (2.2)$$

удовлетворяет всем ограничениям на ФП. Оно порождает все РеМ-4 при  $\gamma \in (0; \beta)$ ,  $\alpha, \beta > 0$ , а при  $\alpha = 0$  – все РеМ-3. Так как  $\Pi(0) = \beta - \gamma$ , то ФП (2.2) порождает СиМ, когда  $\gamma = \beta$ : при  $\lambda \beta = 0$  – ньютоновскую жидкость, при  $\alpha = 0$  – модель Фойгта (СиМ-2), при  $\alpha > 0$  – все СиМ-3. При  $\gamma = 0$  семейство (2.2) дает модель Максвелла.

На МФ  $\varphi(u)$  в ОС (1.1) наложим следующие минимальные априорные требования (анализ покажет, нужно ли дополнить их список): функция  $\varphi(u)$ ,  $u \in (\omega_-; \omega_+)$ , непрерывно дифференцируема и строго возрастает на  $(\omega_-; 0) \cup (0; \omega_+)$  (где  $\omega_- \omega_+ < 0$ ), причем  $\varphi(0+) = \varphi(0-) = 0$  (иначе процессу  $\varepsilon(t) \equiv 0$  соответствует ненулевой отклик  $\sigma(t)$ ). Формально возможны случаи  $\omega_- = -\infty$  и  $\omega_+ = +\infty$ , и случай  $\varphi'(0) = +\infty$ . Для материалов с одинаковым поведением при растяжении и сжатии МФ  $\varphi(u)$  нечетна,  $\omega_- = -\omega_+$ . Из возрастания  $\varphi(u)$  следует существование обратной функции  $\Phi := \varphi^{-1}$  на промежутке  $D_\Phi = (\underline{x}; \bar{x})$ , где  $\bar{x} := \sup \varphi(u) = \varphi(\omega_+ - 0)$ ,  $\underline{x} := \inf \varphi(u) = \varphi(\omega_- + 0)$ , и обратимость ОС (1.1). Величины  $\bar{x}$  и  $\underline{x}$  – важные характеристики МФ  $\varphi$  и  $\Phi$ , существенно влияющие на поведение теоретических кривых ОС (1.1) [49–52].

Конечность  $\omega_+$  или  $\bar{x}$  (или  $\omega_-$  и  $\underline{x}$ ) означает, что, благодаря такому выбору МФ, в ОС (1.1) встроен критерий разрушения при растяжении (при сжатии), обеспечивающий обрыв теоретических кривых (ползучести, деформирования и др.) в некоторый момент времени. В этом случае их можно интерпретировать как материальные параметры, через которые выражаются предел прочности, предельная деформация, время разрушения [49]. Например, задача моделирования с помощью ОС (1.1) дробно-линейной зависимости Шестерикова-Юмашевой [64] для скорости ползучести от напряжения  $r(x) = Ax/(\sigma_* - x)$ ,  $x \in [0; \sigma_*]$ , приводит к МФ

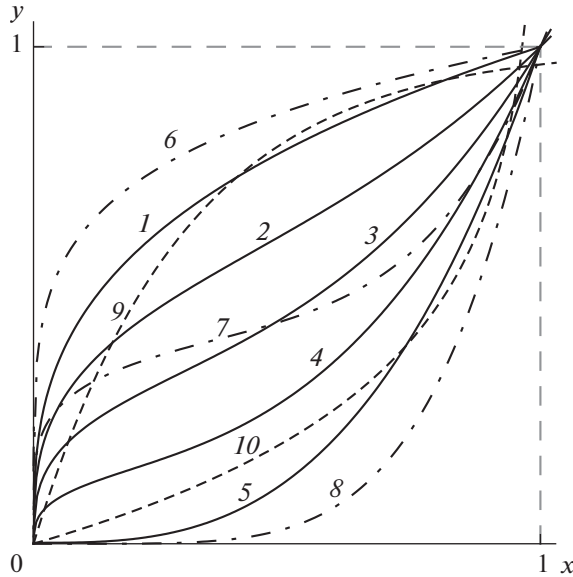
$$\varphi(u) = \sigma_*(1 - e^{-u/A}), \quad u \geq 0; \quad \Phi(x) = A \ln[\sigma_*/(\sigma_* - x)], \quad x \in [0; \sigma_*] \quad (2.3)$$

с  $\omega_+ = +\infty$  и с конечным  $\bar{x} = \sigma_*$  [49].

Для задания МФ  $\varphi$  или  $\Phi$  удобно, например, пятипараметрическое семейство (оно будет использовано для иллюстрации свойств диаграмм деформирования ОС (1.1))

$$y(x) = A[\vartheta(x/C)^n + (1 - \vartheta)(x/C)^m], \quad x \geq 0, \quad (2.4)$$

$$n > 1, \quad m < 1, \quad \vartheta \in [0; 1], \quad A, C > 0$$



Фиг. 1

При любых значениях параметров (кроме  $\vartheta = 0; 1$ )  $y(0) = 0$ ,  $y'(0) = \infty$ ,  $y(C) = A$ , функция  $y(x)$  возрастает и имеет точку перегиба

$$\tilde{x} = Cq(n, m, \vartheta)^{1/(n-m)}, \quad q := m(1 - m)(1 - \vartheta)[n(n - 1)\vartheta]^{-1} \quad (2.5)$$

Весовой параметр  $\vartheta \in (0; 1)$  позволяет совместить точку перегиба (2.5) с любой точкой  $x > 0$  и описать кривые ползучести со всеми тремя стадиями [49]. Семейство (2.4) убывает по  $\vartheta$  на интервале  $x \in (0; C)$  и возрастает на  $(C; \infty)$ . В случае  $m = 1/n$  семейство (2.4) стремится при  $n \rightarrow 1 + 0$  к линейной функции  $y = AC^{-1}x$ , то есть МФ  $\varphi$  или  $\Phi$  в ОС (1.1) “исчезает” и нелинейное ОС превращается в линейное ОС (1.2).

На фиг. 1 приведены графики функций (2.4) с  $m = 1/n$ ,  $n = 3$ ,  $A = C = 1$  и  $\vartheta = 0; 0.25; 0.5; 0.75; 1$  (линии 1–5) и графики при  $n = 5$  и  $\vartheta = 0; 0.5; 1$  (штрих-пунктирные линии 6–8). С ростом  $n$   $\varphi'(x)$  в окрестностях точек  $x = 0$  и  $x = 1$  возрастают. Штриховые линии 9, 10 – графики взаимно обратных МФ (2.3) с  $\sigma_* = 1$ ,  $A = 0.25$ .

При  $u < 0$  можно определить  $\varphi(u)$  формулой  $\varphi(u) = -y(-u)$ , причем для материала с разными свойствами при растяжении и сжатии можно взять разные наборы пяти параметров функции (2.4) при  $u < 0$  и  $u > 0$  (условия  $y(0) = 0$ ,  $y'(0) = \infty$  обеспечивают гладкую склейку МФ  $\varphi$  в точке  $u = 0$  при любом выборе параметров).

**3. Семейства кривых релаксации и ползучести ОС Работнова.** Кривые релаксации (КР), порождаемые ОС (1.1) при мгновенном деформировании  $\varepsilon(t) = \bar{\varepsilon}h(t)$  до уровня  $\bar{\varepsilon} \in (\omega_-; \omega_+)$ , имеют вид

$$\sigma(t, \bar{\varepsilon}) = \varphi(\bar{\varepsilon})R(t), \quad t > 0 \quad (3.1)$$

КР с  $\bar{\varepsilon} > 0$  убывают и выпуклы вниз по  $t$  и возрастают по  $\bar{\varepsilon}$  (т.е. ОС (1.1) воспроизводит основные качественные свойства типичных экспериментальных КР), ибо  $R(t)$  убывает и выпукла вниз, а  $\varphi(u)$  возрастает. КР (3.1) подобны и имеют точно такую же форму, как и у линейного ОС (1.2), но зависимость КР от  $\bar{\varepsilon}$  уже не линейна, а задается

МФ  $\varphi$ . Существенно, что МФ  $\varphi$  не влияет на форму КР и на время (спектр, скорость) релаксации. Подobie КР материала – важный индикатор применимости ОС (1.1). Разделение переменных в уравнении (3.1) позволяет, в принципе, определить обе МФ по нескольким КР материала для разных  $\bar{\varepsilon}$  (если наблюдается их подобие).

Кривые ползучести ОС (1.1) при мгновенном нагружении  $\sigma(t) = \bar{\sigma} h(t)$  имеют вид:

$$\varepsilon(t, \bar{\sigma}) = \Phi(\bar{\sigma}\Pi(t)) \quad \text{при} \quad \underline{x} < \bar{\sigma}\Pi(t) < \bar{x} \quad (3.2)$$

где  $\bar{x} := \sup \varphi(u)$ ,  $\underline{x} := \inf \varphi(u)$ . Семейство КП (3.2) возрастает по  $\bar{\sigma}$  (ибо  $\Phi$  возрастает), а при любом  $\bar{\sigma} > 0$  (будем рассматривать этот случай) КП возрастает по  $t$  на всем промежутке, где  $\bar{\sigma}\Pi(t) < \bar{x}$ . Если  $\bar{x} = \infty$  (как для линейного ОС (1.2)), то КП с  $\bar{\sigma} > 0$  определены при всех  $t \geq 0$ . Если же  $\bar{x} < \infty$ , то  $\bar{\sigma}\Pi(t) \in D_\Phi$  только при  $\bar{\sigma} < \bar{x}/\Pi(0)$  и  $\Pi(t) < \bar{x}/\bar{\sigma}$ ; это означает, что КП (3.2) существует только для напряжений  $\bar{\sigma} < \sigma_+$ ,  $\sigma_+ := \bar{x}/\Pi(0)$  и обрывается в момент  $t_*$ , удовлетворяющий уравнению  $\Pi(t_*) = \bar{x}/\bar{\sigma}$ , если  $\bar{\sigma} > \bar{x}/\Pi(\infty)$  (если  $\Pi(\infty) < \infty$ , то КП (3.2) с  $\bar{\sigma} < \bar{x}/\Pi(\infty)$  не обрывается).

Таким образом, если  $\bar{x} < \infty$  и  $\Pi(0) \neq 0$ , то параметр  $\sigma_+ := \bar{x}/\Pi(0) = E\bar{x}$  имеет смысл предела (мгновенной) прочности при растяжении, и в ОС (1.1) уже встроены критерий разрушения. Если  $\omega_+ < \infty$ , разрушение при растяжении происходит по достижению критической деформации:  $\varepsilon_* := \Phi(\bar{x}) = \omega_+$  (такой физический смысл можно придать параметру  $\omega_+$ ). Уравнение кривой длительной прочности при растяжении:

$$t_* = p(\bar{x}/\bar{\sigma}), \quad E_\infty \bar{x} < \bar{\sigma} < E\bar{x},$$

где  $p(x)$  – обратная функция к  $\Pi(t)$ ,  $E := 1/\Pi(0)$ ,  $E_\infty := 1/\Pi(\infty)$  – мгновенный и длительный модули диаграмм деформирования линейного ОС (1.2) [56, 57].

Изохронные КП  $\sigma = \varphi(\varepsilon)/\Pi(t)$  подобны; это один из необходимых признаков применимости ОС (1.1). В работах [1–19] подобие изохронных КП материала трактовалось как достаточное условие применимости ОС (1.3).

Подробный анализ свойств кривых релаксации, ползучести и длительной прочности, порождаемых ОС (1.1), проведен в работах [49–52].

**4. Свойства диаграмм деформирования с постоянной скоростью нагружения.** Найдем отклик ОС (1.1) на процессы вида  $\sigma = bt$ ,  $t > 0$ , где  $b > 0$  – скорость нагружения:

$$\varphi(\varepsilon(t)) = \int_0^t \Pi(t - \tau) b d\tau = bQ(t), \quad Q(t) := \int_0^t \Pi(\tau) d\tau$$

то есть  $\varepsilon(t) = \Phi(bQ(t))$  при  $bQ(t) \in D_\Phi$ . Это параметрическое задание ДД. Удобно переписать его в форме  $\varepsilon(t) = \Phi(\sigma\Theta(t))$ , где  $\Theta(t) := t^{-1}Q(t)$  (свойства усреднения ФП  $\Theta(t)$  смотри в [56, 57]). Очевидно,  $Q(0) = 0$ ,  $\Theta(0+) = \Pi(0)$ ,  $Q(\infty) = \infty$ ,  $\Theta(\infty) = \Pi(\infty)$ , а при  $t > 0$ :  $Q(t) > 0$ ,  $\dot{Q}(t) = \Pi(t) > 0$ ,  $\ddot{Q}(t) = \dot{\Pi}(t) > 0$ ,  $\ddot{\ddot{Q}}(t) = \ddot{\Pi}(t) < 0$ . Для ФП вида (2.2), например,  $Q(t) = 0.5\alpha t^2 + \beta t - \gamma\lambda^{-1}(1 - e^{-\lambda t})$ .

Исключив параметр  $t = \sigma/b$  (или  $t = F(\varphi(\varepsilon)/b)$ ,  $F = Q^{-1}$ ) из тождества  $\varphi(\varepsilon(t)) = bQ(t)$ , получим семейство ДД в виде  $\varepsilon = \varepsilon(\sigma, b)$  и в явной форме  $\sigma = \sigma(\varepsilon, b)$ :

$$\varepsilon(\sigma, b) = \Phi(bQ(\sigma/b)) \quad \text{при} \quad bQ(\sigma/b) < \bar{x}, \quad \text{или} \quad \sigma(\varepsilon, b) = bF(\varphi(\varepsilon)/b), \quad \varepsilon \in [0, \omega) \quad (4.1)$$

где  $\omega$  – краткое обозначение для  $\omega_+$ . Так как  $Q(0) = 0$  и  $Q(\infty) = \infty$ , то обратная к  $Q$  функция  $F(x)$  определена на всем луче  $x \geq 0$ ,  $F(0) = 0$ ,  $F(\infty) = \infty$ .

Уравнение (4.1) можно записать в виде

$$\sigma(\varepsilon, b) = \varphi(\varepsilon)F(s)/s, \quad \text{где} \quad \varepsilon \in (0; \omega), \quad s := \varphi(\varepsilon)/b \quad (4.2)$$

Для исследования семейства ДД в общем виде установим свойства МФ  $F(x)$ , вытекающие из ограничений, наложенных на ФП  $\Pi(t)$  в п. 2 (за исключением  $\dot{\Pi}(t) \leq 0$ ).

*Лемма.* Если  $\Pi(t)$  положительна, дифференцируема и строго возрастает на  $(0; \infty)$ , то функция  $F = Q^{-1}$  определена на  $[0; \infty)$  и при  $x > 0$  обладает следующими свойствами:

1)  $F$  положительна, дважды дифференцируема и строго возрастает,  $F(0) = 0$ ,  $F(\infty) = \infty$ ;

2)  $F'(x) = 1/\dot{Q}(F(x)) = 1/\Pi(F(x)) > 0$ ,  $F'(x)$  строго убывает,  $F'(0+) = 1/\Pi(0) = \sup F'(x)$  (в частности,  $F'(0+) = \infty$  для нерегулярных моделей),  $F'(\infty) = 1/\Pi(\infty) = \inf F'(x)$ ;

3)  $F''(x) = -\ddot{Q}(F(x))[\dot{Q}(F(x))]^{-3} = -\dot{\Pi}(F(x))[\Pi(F(x))]^{-3} \leq 0$ ;

в частности,  $F''(x) < 0$ , если нет точек с  $\dot{\Pi}(t) = 0$ ;

4)  $F(x)/x > F'(x)$  при  $x > 0$ ;

5) функция  $F(x)/x$  убывает при  $x > 0$ ;

6) при  $x \rightarrow 0$   $F(x)/x \rightarrow 1/\Pi(0)$  (для нерегулярных моделей  $F(x)/x \rightarrow \infty$ ), а при  $x \rightarrow \infty$ :  $F(x)/x \rightarrow 1/\Pi(\infty)$ ;

7) Если ФП дважды дифференцируема и  $\dot{\Pi}(t) \leq 0$ , то  $\ddot{Q}(t) \leq 0$  и  $F'''(x) = -\ddot{\Pi}(F(x))[\Pi(F(x))]^{-4} + 3[\dot{\Pi}(F(x))]^2 [\Pi(F(x))]^{-5}$  (и потому  $F'''(x) > 0$  на  $(0; \infty)$ ).

*Доказательство.* Пункты 1–3 леммы следуют из свойств  $Q(t)$  и обратной функции. В частности, строгое убывание  $F'(x)$  могло бы быть нарушено лишь на тех интервалах, где  $\Pi(t) = const$  (но в предпосылке требуется строгое возрастания ФП);  $\ddot{Q}(t) = \dot{\Pi}(t) > 0$  и  $F''(x) < 0$ , а равенство  $F''(x) = 0$  возможно лишь в тех точках, где  $\dot{\Pi}(F(x)) = 0$ ; если  $\dot{\Pi}(t) \leq 0$ , то наличие точки, в которой  $\dot{\Pi}(t_0) = 0$ , означает, что  $\Pi(t) = const$  при  $t > t_0$ .

Пункты 4 и 5 справедливы для любой функции с  $F''(x) < 0$  и  $F(0) \geq 0$ . В самом деле, по теореме Лагранжа  $y := F(x)/x - F'(x) = F(\xi) - F'(x) + F(0)/x$ ,  $\xi \in (0; x)$ ,  $F'(\xi) > F'(x)$ , так как  $F'(x)$  строго убывает (если бы в некоторой точке достиглось равенство  $y(x_0) = 0$ , то было бы  $F(x) = const$  на некотором отрезке  $[\xi, x_0]$  и  $\Pi(t) = const$  на соответствующем отрезке  $[t_0, \zeta]$ , что противоречит строгому неравенству  $F''(x) < 0$  и строгой монотонности ФП). Итак,  $y(x) > 0$ . Отсюда следует и п. 5:  $(F(x)/x)' = F'(x)x^{-1} - F(x)x^{-2} = -x^{-1}y(x) < 0$ .

Пункт 6 следует из дифференцируемости  $F$  и предельных равенств  $F'(0+) = 1/\Pi(0)$  и  $F'(\infty) = 1/\Pi(\infty)$  по правилу Лопиталья.

Пункт 7 получается дифференцированием равенства из п. 3:

$$F'''(x) = -\ddot{\Pi}(F(x))F'(x)[\Pi(F(x))]^{-3} + 3[\dot{\Pi}(F(x))]^2 [\Pi(F(x))]^{-4} F'(x);$$

$F'''(x) \geq 0$ , так как  $\dot{\Pi}(t) \leq 0$  при всех  $t > 0$ ; равенство  $F'''(x) = 0$  возможно в некоторой точке  $x_0 > 0$  только если существует точка  $t_0 > 0$ , в которой одновременно  $\dot{\Pi}(t_0) = 0$  и  $\ddot{\Pi}(t_0) = 0$ , но в силу ограничений  $\dot{\Pi}(t) \geq 0$  и  $\ddot{\Pi}(t) \leq 0$ , наличие такой точки означает, что  $\dot{\Pi}(t) \equiv 0$  и  $\Pi(t) = const$  при  $t \geq t_0$ . Если такие модели с финитной ползучестью исключить из рассмотрения (требованием строгого возрастания ФП – смотри предпосылку леммы), то справедливо строгое неравенство  $F'''(x) > 0$  при  $x > 0$ .

Из представления ДД в виде (4.2) и пунктов 5, 6 леммы сразу следуют два важных свойства: 1) семейство ДД возрастает по  $b$  при любом фиксированном  $\varepsilon \in (0; \omega)$ , т.е. с ростом  $b$  ДД (4.1) целиком смещается вверх вдоль оси  $\sigma$  (ОС моделирует материалы

с положительной скоростной чувствительностью); 2) для любой ДД с  $b > 0$ , порожденной ОС (1.1) с произвольной допустимой ФП, справедливы (точные) оценки:

$$\varphi(\varepsilon)/\Pi_\infty < \sigma(\varepsilon, b) < \varphi(\varepsilon)/\Pi_0, \quad \varepsilon \in (0, \omega)$$

Оценка сверху содержательна, если  $\Pi_0 \neq 0$ , то есть для регулярных моделей. Ниже будет показано, что верхняя и нижняя границы имеют механический смысл:  $\varphi(\varepsilon)/\Pi_0 = \sigma(\varepsilon, +\infty)$  – “мгновенная” ДД, а  $\varphi(\varepsilon)/\Pi_\infty = \sigma(\varepsilon, 0)$  – “равновесная” ДД. Дифференцируя (4.1) по  $\varepsilon$ , найдем касательный модуль

$$\sigma'_\varepsilon(\varepsilon, b) = F'(\varphi(\varepsilon)/b)\varphi'(\varepsilon) = \varphi'(\varepsilon)[\Pi(F(\varphi(\varepsilon)/b))]^{-1}, \quad \varepsilon \in [0, \omega) \quad (4.3)$$

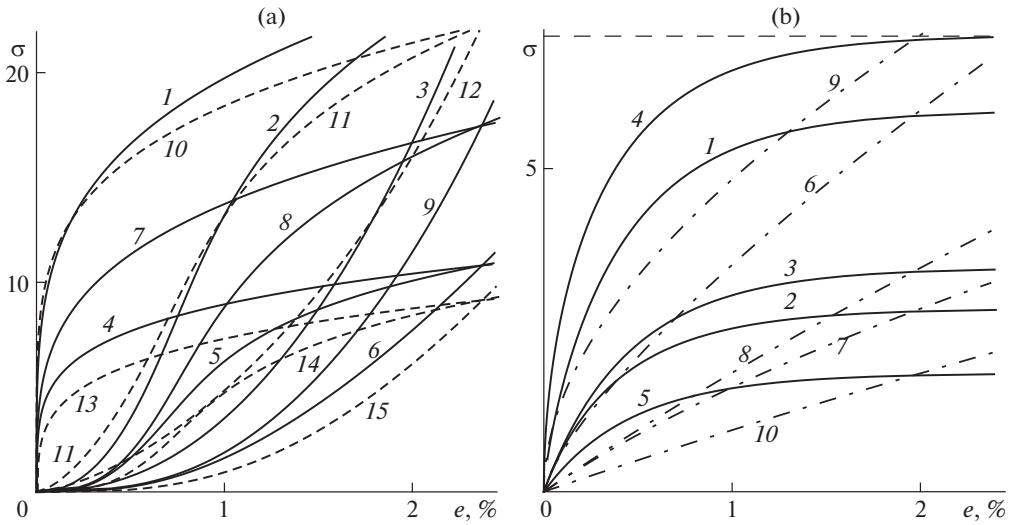
Так как  $\varphi'(\varepsilon) > 0$  и  $F'(x) > 0$ , то всегда  $\sigma'_\varepsilon(\varepsilon, b) > 0$ , и ДД  $\sigma = \sigma(\varepsilon, b)$  возрастает по  $\varepsilon$ .

Если  $\bar{x} := \varphi(\omega) = \infty$  (как для линейного ОС (1.2), например), то  $D_\Phi = [0; \infty)$ , ДД (4.1) определены при всех  $\sigma \geq 0$  и  $t \geq 0$ , и напряжение  $\sigma = bt$  формально может нарастать неограниченно. Если  $\omega = \infty$  ДД (4.2) определены на всем луче  $\varepsilon \geq 0$ . Если же  $\omega < \infty$  (т.е.  $\varphi(\varepsilon)$  имеет асимптоту  $\varepsilon = \omega$ ), то ДД  $\sigma(\varepsilon, b)$  имеют общую вертикальную асимптоту  $\varepsilon = \omega$  (если рабочий диапазон деформаций при моделировании лежит внутри  $[0; \omega/2]$  наличие этой асимптоты и предельной деформации  $\varepsilon = \omega$  не проявляются).

Рассмотрим случай  $\bar{x} < +\infty$ . Тогда  $bQ(t) \in D_\Phi$  только при  $Q(t) < \bar{x}/b$ ; это означает, что каждая ДД обрывается в момент времени  $t = t_\omega$ , такой, что  $Q(t_\omega) = \bar{x}/b$ , т.е.  $t_\omega = F(\bar{x}/b)$ . В силу п.1 леммы  $t_\omega(b)$  убывает с ростом  $b$  и  $t_\omega(b) \rightarrow 0$  при  $b \rightarrow +\infty$ . ДД ведут себя по-разному в двух случаях. 1) Если  $\omega < +\infty$ , то есть  $\Phi(\bar{x}) < \infty$ , то обрыв любой ДД (разрушение) происходит (как и при ползучести) по достижению критической деформации:  $\varepsilon(t_\omega) = \varepsilon_*$ , где  $\varepsilon_* := \Phi(\bar{x}) = \omega$  – постоянная, не зависящая от  $b$  и ФП  $\Pi(t)$ . Напряжение в момент разрушения зависит от  $b$  и ФП:  $\sigma_\omega = bt_\omega = bF(\bar{x}/b)$ , причем  $\sigma_\omega(b)$  возрастает (т.к.  $\sigma'_\omega(b) > 0$  в силу п. 4 леммы) и  $\sigma_\omega(b) \rightarrow \sigma_+ := \bar{x}/\Pi(0)$  (см. п. 2) при  $b \rightarrow \infty$  в силу п. 6 леммы (в частности,  $\sigma_\omega(b)$  меньше предела прочности  $\sigma_+$  при любых СН и  $\sigma_+ = \sup \sigma_\omega(b)$ ).

2) Если же  $\omega = +\infty$ , то есть  $\Phi(\bar{x}) = \infty$ , то деформация  $\varepsilon(t) = \Phi(bQ(t))$  обладает вертикальной асимптотой  $t = t_\omega$ ; это означает, что любая ДД обрывается в момент времени  $t = t_\omega$  из-за неограниченного нарастания деформации и ее скорости (можно интерпретировать это как свидетельство зарождения и роста шейки в образце), а каждая ДД в форме  $\sigma(\varepsilon, b)$  имеет горизонтальную асимптоту  $\sigma = \bar{\sigma}(b)$ , где  $\bar{\sigma} = bF(\varphi(\infty)/b) = bF(\bar{x}/b)$ . “Напряжение течения” (или “шейкообразования”)  $\bar{\sigma}(b)$  возрастает с ростом СН (так как  $\bar{\sigma} = \bar{x}F(x)/x$ ,  $x := \bar{x}/b$ , а функция  $F(x)/x$  убывает),  $\inf \bar{\sigma}(b) = \bar{\sigma}(0+) = \bar{x}/\Pi(\infty)$ ,  $\sup \bar{\sigma}(b) = \bar{\sigma}(\infty) = \bar{x}/\Pi(0)$  (для регулярных моделей  $\bar{\sigma}(\infty) < \infty$ , для нерегулярных  $\bar{\sigma}(\infty) = \infty$ ). Верно и обратное: если хотя бы одна ДД (4/1) имеет горизонтальную асимптоту, то ее имеет и МФ  $\varphi$  (т.е.  $\omega = \infty$  и  $\bar{x} < \infty$ ), а значит, и все ДД (ДД при постоянной СН линейного ОС (1.2) никогда не имеют горизонтальной асимптоты). Существенно, что зависимости времени разрушения  $t_\omega(b) = F(\bar{x}/b)$  и “напряжения течения”  $\bar{\sigma}(b) = bF(\bar{x}/b)$  от СН определяются только ФП  $\Pi(t)$ , а МФ  $\varphi$  влияет на них только через скалярный параметр  $\bar{x} := \varphi(\omega)$ .

Касательный модуль (4.3) зависит от СН (возрастает по  $b$  при любом фиксированном  $\varepsilon$ , так как  $\Pi(t)$  и  $F(x)$  возрастают). Мгновенный модуль при  $\varepsilon = 0$  не зависит от СН:  $E := \sigma'_\varepsilon(0+, b) = F'(\varphi(0)/b)\varphi'(0) = F'(0)\varphi'(0) = \varphi'(0)/\Pi(0)$ . Для регулярных моделей он конечен, если  $\varphi'(0) < \infty$ , для нерегулярных (с  $\Pi(0) = 0$ ) он бесконечен, если  $\varphi'(0) \neq 0$ . Если же  $\varphi'(0) = 0$  или  $\varphi'(0) = \infty$ , то предел  $\sigma'_\varepsilon(0+, b)$  зависит от соотношений порядков асимптотик  $\varphi'(\varepsilon)$  и  $\Pi(F(\varphi(\varepsilon)/b))$  при  $\varepsilon \rightarrow 0$ .



Фиг. 2

Длительный модуль  $E_\infty := \sigma'_\varepsilon(\infty, b)$  определен лишь в случае  $D_\varphi = [0; \infty)$ , то есть когда  $\omega = \infty$ :  $E_\infty = \varphi'(\infty)/\Pi(F(\bar{x}/b))$ . Если  $\bar{x} = \infty$ , то  $E_\infty = \varphi'(\infty)/\Pi(\infty)$  (так как  $F(\infty) = \infty$ ), и конечность предела  $E_\infty = \varphi'(\infty)/\Pi(\infty)$  зависит от того, конечны ли  $\varphi'(\infty)$  и  $\Pi(\infty)$ ; в частности, если  $\varphi'(\infty) < \infty$ , то  $E_\infty$  конечен (и  $E_\infty = 0$  при  $\Pi(\infty) = \infty$ ). Если  $\bar{x} < \infty$  (т.е.  $\varphi(\varepsilon)$  имеет горизонтальную асимптоту), то  $E_\infty = 0$ , так как  $\varphi'(\infty) = 0$ ,  $\Pi(F(\varphi(\infty)/b)) < \infty$  (это верно для любой МФ с любым пределом  $\Pi(\infty)$ ). В случае линейного ОС (1.2) (при  $\varphi(u) = u$ ) касательный модуль убывает по  $\varepsilon$  и все ДД  $\sigma(\varepsilon, b)$  выпуклы вверх [56, 57], мгновенный модуль – максимальный касательный модуль, а длительный модуль – минимальный. Для ОС (1.1) с произвольной МФ  $\varphi$  это не обязательно так, ибо ДД не обязана быть выпуклой вверх.

Так как  $\sigma''_\varepsilon(\varepsilon, b) = [F'(\varphi(\varepsilon)/b)\varphi'(\varepsilon)]' = b^{-1}F''(\varphi(\varepsilon)/b)\varphi'(\varepsilon)^2 + F'(\varphi(\varepsilon)/b)\varphi''(\varepsilon)$ , выпуклость ДД зависит от знака и величины  $\varphi''(x)$ : первое слагаемое отрицательно (ибо  $F''(x) < 0$  по п. 3 леммы); если  $\varphi''(\varepsilon) < 0$ , то второе слагаемое в скобке тоже отрицательно,  $\sigma''_\varepsilon(\varepsilon, b) < 0$  и ДД выпукла вверх. Таким образом, если  $\varphi(x)$  выпукла вверх, то ДД выпукла вверх, а если у  $\varphi(x)$  есть участки выпуклости вниз, то у ДД они тоже могут быть (см. фиг. 2а).

Фигуры 2а, 2б демонстрируют разнообразие форм (свойств) ДД ОС (1.1). На фиг. 2а приведены ДД при постоянной СН  $b = 1$  моделей с тремя разными МФ  $\Phi(x)$  ( $\Phi = (x/10)^3$ ,  $\Phi = x^{1/3}$  и МФ  $\Phi(x)$  вида (2.4) с  $m = 1/n$ ,  $n = 3$ ,  $\vartheta = 0.001$ ,  $A = 0.5$ ,  $C = 1$ ) для ФП  $\Pi(t) = 0.25t^{1/3}$  (ДД 1–3) и четырех классических ФП вида (2.2): кривые 4–6 – ДД для ФП РеМ-4 (с  $\lambda = 0.1$ ,  $\alpha = 0.1$ ,  $\beta = 1$ ,  $\gamma = 0.5$  и временем ретардации  $\tau_c = 1/\lambda = 10$ ), кривые 7–9 – ДД для ФП РеМ-3 (с  $\alpha = 0$ ,  $\lambda = 0.1$ ,  $\beta = 1$ ,  $\gamma = 0.5$ ; тогда  $\tau_c = 10$ , а время релаксации  $\tau = \tau_c(1 - \gamma/\beta) = 5$ ), штриховые кривые 10–12 – ДД для ФП модели Фойгта (с  $\lambda = 0.1$ ,  $\gamma = \beta = 1$ ), штриховые кривые 13–15 – ДД для ФП модели Максвелла (с  $\gamma = 0$ ,  $\alpha = 0.1$ ,  $\beta = 0.5$  и  $\tau = \beta/\alpha = 5$ ). ДД моделей с  $\Phi = (x/10)^3$  выпуклы вверх,

с  $\Phi = x^{1/3}$  выпуклы вниз, а с  $\Phi(x)$  вида (2.4) имеют точку перегиба. На фиг. 2b приведены ДД 1–5 моделей с МФ (2.3) для  $A = 0.5$ ,  $\sigma_* = 2$  и теми же пятью ФП (нумерация ДД – в порядке перечисления ФП). У МФ  $\varphi$  вида (2.3) есть горизонтальная асимптота, и потому каждая ДД  $\sigma(\varepsilon, b)$  имеет горизонтальную асимптоту  $\sigma = \bar{\sigma}$  с  $\bar{\sigma} = bF(\sigma_*/b)$ . Штрих-пунктирные линии 6–10 – ДД линейного ОС (1.2) ( $\varphi(u) = u$ ) с теми же ФП.

Основные обнаруженные выше общие свойства всех ДД (4.2), порождаемых ОС (1.1) при фиксированной СН, соберем в теореме.

*Теорема 1.* Пусть  $\Pi(t)$  положительна, дифференцируема и строго возрастает на  $(0; \infty)$ , а  $\varphi(x)$  непрерывно дифференцируема и строго возрастает на  $(0; \omega)$  и  $\varphi(0) = 0$ . Тогда любая ДД  $\sigma = \sigma(\varepsilon, b)$  с фиксированной СН  $b > 0$  обладает следующими свойствами.

1) Все ДД  $\sigma(\varepsilon, b)$  возрастают по  $\varepsilon$  на всей области определения,  $\sigma(0, b) = 0$ .

2) Если  $\bar{x} := \varphi(\omega) = \infty$  то ДД (4.1) определены при всех  $\varepsilon \in (0, \omega)$  и напряжение  $\sigma = bt$  формально может нарастать неограниченно; в случае  $\omega < \infty$  (когда МФ  $\varphi(\varepsilon)$  имеет асимптоту  $\varepsilon = \omega$ ) все ДД  $\sigma = \sigma(\varepsilon, b)$  имеют общую вертикальную асимптоту  $\varepsilon = \omega$ .

2) Если  $\bar{x} < +\infty$ , каждая ДД обрывается в момент  $t_\omega = F(\bar{x}/b)$ ; в случае  $\omega < +\infty$  обрыв ДД (разрушение) происходит по достижению критической деформации:  $\varepsilon(t_\omega) = \varepsilon_*$ , где  $\varepsilon_* := \Phi(\bar{x}) = \omega$  не зависит от СН  $b$ ; в случае  $\omega = +\infty$  каждая ДД  $\sigma(\varepsilon, b)$  имеет горизонтальную асимптоту  $\sigma = \bar{\sigma}(b)$ , где  $\bar{\sigma} = bF(\bar{x}/b)$  – напряжение течения, а деформация  $\varepsilon(t) = \Phi(bQ(t))$  обладает вертикальной асимптотой  $t = t_\omega$  (и  $\dot{\varepsilon}(t) \rightarrow \infty$ ).

3) Касательный модуль ДД выражается формулой (4.3), он не обязан убывать по  $\varepsilon$ .

4) Мгновенный модуль (при  $\varepsilon = 0$ ) равен  $E := \sigma'_\varepsilon(0+, b) = \varphi'(0)/\Pi(0)$  (не зависит от СН), для регулярных моделей  $E < \infty$ , если  $\varphi'(0) < \infty$ , для нерегулярных  $E = \infty$ , если  $\varphi'(0) \neq 0$ .

5) Длительный модуль  $E_\infty := \sigma'_\varepsilon(\infty, b)$  определен лишь в случае  $\omega = \infty$  и равен  $E_\infty = \varphi'(\infty)/\Pi(F(\bar{x}/b))$ ; для его равенства нулю достаточно одного из условий: а)  $\bar{x} < \infty$  или б)  $\bar{x} = \infty$  и  $\Pi(\infty) = \infty$  и  $\varphi'(\infty) < \infty$ .

6) Для любой ДД справедливы (точные) оценки:  $\varphi(\varepsilon)/\Pi_\infty < \sigma(\varepsilon, b) < \varphi(\varepsilon)/\Pi_0$ ,  $\varepsilon \in (0, \omega)$ .

**5. Зависимость диаграмм деформирования от скорости нагружения.** Все доказанные утверждения опираются на общие предпосылки – ограничения на МФ ОС (1.1), наложенные в теореме 1 (см. также п. 2). В предыдущем пункте уже доказана

*Теорема 2.* В предпосылках теоремы 1 справедливы следующие утверждения:

1) При любом  $\varepsilon \in (0; \omega)$  семейство ДД (4.2)  $\sigma(\varepsilon, b)$ ,  $b > 0$ , возрастает по  $b$  (с ростом СН ДД смещается вверх); для всех ДД справедлива оценка снизу  $\sigma(\varepsilon, b) > \varphi(\varepsilon)/\Pi_\infty$  ( $\sigma > 0$ , если  $\Pi_\infty = \infty$ ), а если  $\Pi_0 \neq 0$ , то верна и оценка сверху  $\sigma(\varepsilon, b) < \varphi(\varepsilon)/\Pi_0$ ,  $\varepsilon \in (0; \omega)$ .

2) Касательный модуль (4.3) возрастает по  $b$  при любом  $\varepsilon \in (0; \omega)$ , а его предельные значения при  $\varepsilon \rightarrow 0$  и  $\varepsilon \rightarrow \infty$  (мгновенный и длительный модули) не зависят от СН.

3) Если  $\bar{x} < \infty$ , то ДД (4.1) обрывается в момент  $t_\omega = F(\bar{x}/b)$ ,  $t_\omega$  убывает с ростом СН  $b$ , напряжение разрушения  $\sigma_\omega(b) = bt_\omega = bF(\bar{x}/b)$  возрастает по  $b$ ,  $\sigma_\omega(b) < \sigma_+$ , где  $\sigma_+ := \bar{x}/\Pi(0)$  – предел прочности, а при  $b \rightarrow +\infty$   $\sigma_\omega(b) \rightarrow \sigma_+ = \sup \sigma_\omega(b)$  и  $t_\omega(b) \rightarrow 0$ .

Исследуем, существуют ли пределы семейства ДД (4.2) при  $b \rightarrow \infty$  и  $b \rightarrow 0$ , то есть ДД при “мгновенном” нагружении и равновесная ДД.

*Теорема 3.* 1) При  $b \rightarrow \infty$  (для любого фиксированного  $\varepsilon \in [0; \omega)$ ) семейство ДД (4.2) сходится (снизу) к кривой  $\sigma = \varphi(\varepsilon)/\Pi_0$  (мгновенной ДД), если  $\Pi_0 \neq 0$ . Если же  $\Pi_0 = 0$

(модель нерегулярна), то при  $b \rightarrow \infty$  семейство ДД (в форме  $\varepsilon(\sigma, b) = \Phi(\sigma\Theta(\sigma/b))$ ) сходится к вертикальной прямой  $\varepsilon = 0$  для любого допустимого  $\sigma \geq 0$ , т.е. такого, что  $\sigma\Theta(\sigma/b) \in D_\Phi$ , или  $\sigma\Theta(\sigma/b) < \bar{x}$  (если  $\bar{x} = \infty$ , то сходимости имеет место на всем луче  $\sigma \geq 0$ , а если  $\bar{x} < \infty$ , то с ростом СН  $b$  область сходимости неограниченно расширяется, т.к.  $\sigma/b \rightarrow 0$  и  $\Theta(\sigma/b) \rightarrow 0$  при  $b \rightarrow \infty$ ).

2) При  $b \rightarrow 0$  (для любого  $\varepsilon \in [0; \omega)$ ) семейство ДД (4.1) сходится (сверху) к кривой  $\sigma = \varphi(\varepsilon)/\Pi(\infty)$  (“равновесной” ДД), ибо  $F(x)/x \rightarrow 1/\Pi(\infty)$  при  $x \rightarrow \infty$ . Если ФП не ограничена ( $\Pi_\infty = \infty$ ), то семейство ДД (4.1) сходится к прямой  $\sigma = 0$ .

*Доказательство.* По (4.2)  $\sigma(\varepsilon, b) = \varphi(\varepsilon)F(x)/x$ , где  $x = \varphi(\varepsilon)/b$ . Но для любой допустимой ФП  $F(x)/x < 1/\Pi_0$  и  $F(x)/x \rightarrow 1/\Pi_0$  при  $x \rightarrow 0$  (п. 6 леммы); при  $\varepsilon = 0$  сходимости имеет место, так как  $\sigma(0, b) = 0$  и  $\varphi(0) = 0$ . Если же  $\Pi_0 = 0$ , то при  $b \rightarrow \infty$  семейство ДД  $\varepsilon(\sigma, b) = \Phi(\sigma\Theta(\sigma/b))$  сходится к прямой  $\varepsilon = 0$  для любого фиксированного  $\sigma \geq 0$ , так как  $\Theta(0+) = \Pi_0 = 0$  и  $\Phi(0) = 0$  (и для любого фиксированного  $\sigma \geq 0$  найдется достаточно большое  $b$ , при котором  $\sigma\Theta(\sigma/b) < \bar{x}$ ).

Докажем, что сходимости семейства ДД (4.2) к мгновенной и к равновесной ДД равномерна внутри области определения (на любом отрезке).

*Теорема 4.* 1) Если модель регулярна ( $\Pi_0 \neq 0$ ), то при  $b \rightarrow +\infty$  семейство ДД (4.2)  $\sigma(\varepsilon, b)$  сходится к функции  $\sigma = \varphi(\varepsilon)/\Pi_0$  равномерно на любом отрезке  $[0, \tilde{\varepsilon}]$  с  $\tilde{\varepsilon} < \omega$ .

2) Семейство ДД любой модели в форме  $\varepsilon = \varepsilon(\sigma, b)$  сходится при  $b \rightarrow +\infty$  к функции  $\varepsilon(\sigma) = \Phi(\Pi_0\sigma)$  равномерно на любом отрезке  $S = [\sigma_1, \sigma_2]$  с  $\sigma_1 > 0$ ,  $\sigma_2 < \bar{x}/\Pi_0$ ; если  $\Phi'(0+) < \infty$  (т.е.  $\varphi'(0+) \neq 0$ ), это верно и для отрезков с  $\sigma_1 = 0$ .

3) Если  $\Pi_0 = 0$ , то семейство  $\varepsilon(\sigma, b)$  сходится при  $b \rightarrow +\infty$  к функции  $\varepsilon = 0$  на любом отрезке вида  $[0, \sigma_2]$  с  $\sigma_2 > 0$ .

4) При  $b \rightarrow 0$  семейство ДД  $\sigma = \sigma(\varepsilon, b)$  любой модели сходится к функции  $\sigma = \varphi(\varepsilon)/\Pi_\infty$  равномерно на любом отрезке  $[0, \tilde{\varepsilon}]$  с  $\tilde{\varepsilon} < \omega$  (в случае  $\Pi_\infty = \infty$  – к функции  $\sigma \equiv 0$ ).

5) Если  $\bar{x} < \infty$  и  $\Pi_0 \neq 0$ , то равномерная сходимости семейства ДД  $\sigma(\varepsilon, b)$  при  $b \rightarrow \infty$  и  $b \rightarrow 0$  имеет место не только внутри  $D_\Phi$ , но и на ее замыкании: если  $\omega < \infty$ , то сходимости равномерна на  $[0, \omega]$ , а если  $\omega = \infty$ , то – на всем луче  $[0, \infty)$ .

6) Если  $\bar{x} = \infty$ , то равномерной сходимости на всем интервале  $[0, \omega)$  при  $b \rightarrow +\infty$  нет.

*Доказательство.* 1) Уклонение ДД (4.2) с фиксированной СН от предельной функции  $y(\varepsilon) := |\sigma(\varepsilon, b) - \varphi(\varepsilon)/\Pi_0| = \varphi(\varepsilon)[\Pi_0^{-1} - F(x)x^{-1}]$  – возрастающая функция  $\varepsilon$  на  $D_\Phi$  (как произведение возрастающих функций: ведь второй множитель возрастает в силу п. 5 леммы), и потому его норма в пространстве  $C[0, \tilde{\varepsilon}]$  совпадает со значением уклонения на правом конце отрезка  $E = [0, \tilde{\varepsilon}]$ :  $\Delta(b) = \sup_{\varepsilon \in E} |y(\varepsilon)| = \varphi(\tilde{\varepsilon})[\Pi_0^{-1} - F(\tilde{x})\tilde{x}^{-1}]$ , где  $\tilde{x} = \varphi(\tilde{\varepsilon})/b$ . При  $b \rightarrow +\infty$ , очевидно,  $\tilde{x} \rightarrow 0$ ,  $F(\tilde{x})\tilde{x}^{-1} \rightarrow \Pi_0^{-1}$  (в силу п. 6 леммы) и  $\Delta(b) \rightarrow 0$ , то есть сходимости равномерна на  $[0, \tilde{\varepsilon}]$ .

2) Норма уклонения ДД  $\varepsilon(\sigma, b)$  от предельной функции на отрезке  $S$ :

$$\begin{aligned} \Delta(b) &= \sup_{\sigma \in S} |\varepsilon(\sigma, b) - \Phi(\Pi_0\sigma)| = \sup_S |\Phi(\sigma\Theta(\sigma/b)) - \Phi(\Pi_0\sigma)| = \\ &= \sup_S \Phi'(\xi) |\sigma\Theta(\sigma/b) - \sigma\Pi(0)| \end{aligned}$$

где  $\xi = \xi(\sigma, b) \in (\sigma\Pi_0; \sigma\Theta(\sigma/b)) \subset I$ ,  $I := [\sigma_1\Pi_0, \sigma_2\Theta(\sigma_2/b)]$ . Если  $\Pi_0 \neq 0$ , то  $\sigma_1\Pi_0 > 0$  и  $\Phi'(x)$  ограничена на отрезке  $I$  (как непрерывная функция), поэтому  $\Delta(b) \leq M\sigma_2|\Theta(\sigma_2/b) - \Pi_0| \rightarrow 0$  при  $b \rightarrow \infty$  (так как  $\dot{\Theta}(t) > 0$  и  $\Theta(0+) = \Pi_0$ ).

3) Если  $\Pi_0 = 0$ , то  $\Theta(0+) = 0$ , условие  $\sigma_2\Theta(0) \in D_\Phi$  выполнено для всех  $\sigma_2 \geq 0$ , а отклонение  $\varepsilon(\sigma, b)$  от предельной функции  $\varepsilon = 0$  на отрезке  $S = [0, \sigma_2]$  можно оценить без использования  $\Phi'$ :  $\Delta(b) = \sup_{\sigma \in S} |\Phi(\sigma\Theta(\sigma/b)) - 0| = \Phi(\sigma_2\Theta(\sigma_2/b))$  (в силу возрастания функции от  $\sigma$ ). При фиксированном  $\sigma_2 \geq 0$   $\Delta(b) \rightarrow 0$  при  $b \rightarrow \infty$ , так как  $\Theta(0+) = 0$ .

4) Уклонение  $z(\varepsilon) := |\sigma(\varepsilon, b) - \Pi_\infty^{-1}\varphi(\varepsilon)| = bF(\varphi(\varepsilon)/b) - \Pi_\infty^{-1}\varphi(\varepsilon) = \varphi(\varepsilon)[F(x)x^{-1} - \Pi_\infty^{-1}]$  является возрастающей функцией  $\varepsilon$  на  $D_\Phi$  (хотя второй множитель убывает в силу п. 5 леммы): ведь  $z'(\varepsilon) = \varphi'(\varepsilon)[F'(\varphi(\varepsilon)/b) - \Pi_\infty^{-1}] > 0$ , ибо  $F'(x) > F'(\infty) = \Pi_\infty^{-1}$  в силу п. 2 леммы. Поэтому норма уклонения  $z(\varepsilon)$  в пространстве  $C[0, \tilde{\varepsilon}]$  совпадает со значением уклонения на правом конце отрезка  $E = [0, \tilde{\varepsilon}]$ :  $\Delta(b) = \varphi(\tilde{\varepsilon})[F(\tilde{x})\tilde{x}^{-1} - \Pi_\infty^{-1}]$ , где  $\tilde{x} = \varphi(\tilde{\varepsilon})/b$ . При  $b \rightarrow 0$ , очевидно,  $\tilde{x} \rightarrow \infty$ ,  $F(\tilde{x})\tilde{x}^{-1} \rightarrow \Pi_\infty^{-1}$  (в силу п. 6 леммы) и  $\Delta(b) \rightarrow 0$ , то есть сходимость равномерна на любом отрезке  $[0, \tilde{\varepsilon}]$  с  $\tilde{\varepsilon} < \omega$ . Доказательство сохраняет силу и в случае  $\Pi_\infty = \infty$ , т.е.  $\Pi_\infty^{-1} = 0$ .

5) Если  $\omega < \infty$  и  $\bar{x} < \infty$  (т.е. МФ определена и непрерывна на отрезке  $[0, \omega]$ ), то можно положить  $\tilde{\varepsilon} = \omega$  и сходимость равномерна на всем  $[0, \omega]$ . Если  $\omega = \infty$  и  $\bar{x} < \infty$  (т.е. МФ  $\varphi$  имеет горизонтальную асимптоту, а обратная функция  $\Phi$  – вертикальную), то сходимость равномерна на всем луче  $[0, \infty)$ , так как  $\Delta(b) = \sup_{\varepsilon \in [0, \infty)} |z(\varepsilon)| = \varphi(\infty)[F(\tilde{x})\tilde{x}^{-1} - \Pi_\infty^{-1}]$ , где  $\tilde{x} = \varphi(\infty)/b$ , и, по-прежнему, при  $b \rightarrow 0$  будет  $\tilde{x} \rightarrow \infty$  и  $F(\tilde{x})\tilde{x}^{-1} \rightarrow \Pi_\infty^{-1}$  и  $\Delta(b) \rightarrow 0$ . Аналогично ведет себя и норма уклонения при  $b \rightarrow +\infty$ , если  $\Pi_0 \neq 0$ :  $\Delta(b) = \sup_{\varepsilon \in [0, \infty)} |y(\varepsilon)| = \varphi(\infty)[\Pi_0^{-1} - F(\tilde{x})\tilde{x}^{-1}]$ , где  $\tilde{x} = \varphi(\infty)/b$ , и, по-прежнему, при  $b \rightarrow +\infty$  будет  $\tilde{x} \rightarrow 0$  и  $F(\tilde{x})\tilde{x}^{-1} \rightarrow \Pi_0^{-1}$  и  $\Delta(b) \rightarrow 0$ .

6) Если же  $\bar{x} = \infty$ , то при  $\tilde{\varepsilon} \rightarrow \omega$  (и фиксированном  $b$ ) будет  $\tilde{x} \rightarrow \infty$ ,  $F(\tilde{x})\tilde{x}^{-1} \rightarrow \Pi_\infty^{-1}$  и норма уклонения на отрезке  $[0, \tilde{\varepsilon}]$  равна  $\Delta(b) = \sup |y(\varepsilon)| \rightarrow \varphi(\omega)[\Pi_0^{-1} - \Pi_\infty^{-1}] = \infty$ , уклонение  $\Delta(b)$  не ограничено на  $[0, \omega)$  и равномерной сходимости при  $b \rightarrow +\infty$  нет.

Математические результаты данной статьи о свойствах диаграмм деформирования ОС (1.1) справедливы как для случая малых деформаций в ОС (1.1), так и для случая, когда ОС (1.1) связывает логарифмическую деформацию  $\varepsilon = \ln[l(t)/l_0]$  и истинное напряжение. Но от выбора меры деформации и напряжения, конечно, зависит физический смысл этих результатов, сопоставление с данными испытаний и методика идентификации. Специфике ОС Работнова в случае конечных деформаций и трехмерного напряженного состояния (как результатам испытаний, так и используемому понятийному аппарату, включая выбор мер деформаций и напряжений и объективных производных в ОС (1.1) будут посвящены отдельные работы.

**6. Примеры диаграмм деформирования конкретных моделей.** Для степенной ФП  $\Pi(t) = Bt^\mu$ ,  $B > 0$ ,  $\mu \in (0; 1]$ , имеем  $Q(t) = B(u+1)^{-1}t^{\mu+1}$ ,  $F(x) = Hx^w$ , где  $w := (u+1)^{-1} \in [0.5; 1)$ ,  $H := (wB)^{-w}$ , и ДД (4.1) имеет вид:

$$\sigma(\varepsilon, b) = bH(\varphi(\varepsilon)/b)^w = Hb^{1-w}\varphi(\varepsilon)^w \quad (6.1)$$

В этом случае переменные разделяются, ДД с разными СН  $b$  подобны, форма всех ДД определяется функцией  $\varphi(\varepsilon)^w$ , зависимость от СН – степенная с показателем  $1 - w \in (0; 0.5]$  (при  $u \rightarrow 0$  имеем  $w \rightarrow 1$ ,  $\sigma(\varepsilon, b) \rightarrow \varphi(\varepsilon)/B$ , т.е. ДД становится слабо чувствительной к СН при малых  $u$ ). Касательный и мгновенный модули:

$$\sigma'(\varepsilon, b) = Hwb^{1-w}\varphi'(\varepsilon)\varphi(\varepsilon)^{-(1-w)}, \quad E = Hwb^{1-w}\varphi'(0)\varphi(0)^{-(1-w)}.$$

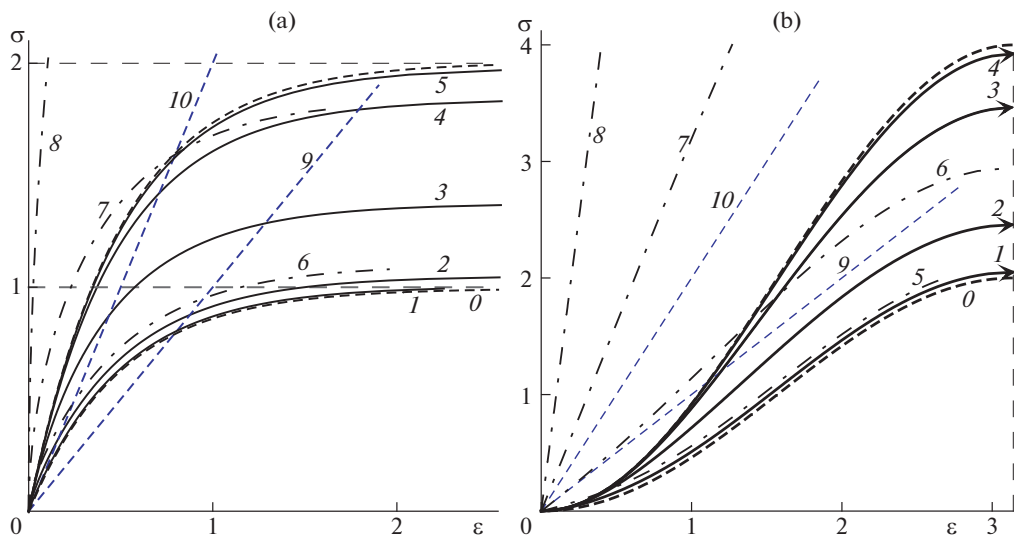
$E = \infty$ , если  $\varphi'(0) \neq 0$  (ибо  $\varphi(0) = 0$ ), а если  $\varphi'(0) = 0$ , то все зависит от асимптотики произведения  $\varphi'(\varepsilon)\varphi(\varepsilon)^{w-1}$  при  $\varepsilon \rightarrow 0$  (в частности, при  $u < 1$  из существования  $\varphi''(0) \neq 0$  следует, что  $E = 0$ ). При  $b \rightarrow \infty$  семейство ДД модели с любым  $u \in (0; 1]$  и любой МФ  $\varphi(\varepsilon)$  сходится к вертикальной прямой  $\varepsilon = 0$ , так как  $\Pi(0) = 0$ ; при  $b \rightarrow 0$  семейство ДД сходится к прямой  $\sigma = 0$ , так как  $b^{1-w} \rightarrow 0$ . Абсцисса точки перегиба (если она есть) не зависит от СН и совпадает с абсциссой точки перегиба функции  $\varphi(\varepsilon)^w$ , поскольку

$$\sigma''(\varepsilon, b) = Hwb^{1-w}\varphi(\varepsilon)^{w-2}[\varphi''(\varepsilon)\varphi(\varepsilon) - (1-w)\varphi'(\varepsilon)^2]$$

Для степенной ФП и любой МФ  $\varphi$  с  $\omega = \infty$  и  $\bar{x} < \infty$  зависимости времени разрушения и напряжения течения от СН имеют степенной вид:  $t_\omega = F(\bar{x}/b) = H\bar{x}^w b^{-w}$ ,  $w \in [0.5; 1)$ , и  $\bar{\sigma}(b) = bF(\bar{x}/b) = H\bar{x}^w b^{1-w}$ ,  $1 - w \in (0; 0.5]$ . В частности, для МФ (2.3) ДД (6.1) имеют вид  $\sigma(\varepsilon, b) = Hb^{1-w}\sigma_*^w(1 - e^{-\varepsilon/A})^w$ ,  $\varepsilon \geq 0$ . Каждая ДД обладает горизонтальной асимптотой  $\sigma = \bar{\sigma}$ ,  $\bar{\sigma} = H\sigma_*^w b^{1-w}$ , время разрушения  $t_\omega = F(\bar{x}/b) = H\sigma_*^w b^{-w}$ .

Для МФ  $\varphi(\varepsilon) = C(1 - \cos(\varepsilon/A))$ , возрастающей на отрезке  $\varepsilon \in [0, \pi A]$ , имеем  $\omega = \pi A$ ,  $\Phi(x) = A[\arcsin(x/C - 1) + 0.5\pi]$ ,  $x \in [0, 2C]$ ,  $\bar{x} = 2C$ , а семейство ДД (6.1) имеет вид:  $\sigma(\varepsilon, b) = Hb^{1-w}C^w(1 - \cos(\varepsilon/A))^w$ ,  $\varepsilon \in [0, \pi A]$ . Обрыв любой ДД происходит по достижению критической деформации:  $\varepsilon(t_\omega) = \varepsilon_*$ , где  $\varepsilon_* = \omega = \pi A$  (не зависит от СН  $b$  и ФП), время разрушения  $t_\omega = F(\bar{x}/b) = H(2C)^w b^{-w}$ . Мгновенный модуль  $E$  равен нулю для всех  $u \in (0; 1)$ : в самом деле, при  $\varepsilon \rightarrow 0$   $\varphi(\varepsilon) \sim 0.5CA^{-2}\varepsilon^2$ ,  $\varphi'(\varepsilon)\varphi(\varepsilon)^{w-1} \sim (0.5CA^{-2}\varepsilon^2)^{w-1}CA^{-2}\varepsilon = c\varepsilon^{2w-1}$ ; но для  $u \in (0; 1)$  всегда  $w > 0.5$ , и потому  $E = 0$  (а для  $u = 1$  имеем  $w = 0.5$  и  $E = c \in (0; \infty)$ ). ДД с этой МФ всегда имеет точку перегиба  $\tilde{\varepsilon} = A \arccos u > 0$  (и еще одну в т.  $\varepsilon = 0$ ). При  $u \rightarrow 0$   $\tilde{\varepsilon} \rightarrow 0.5\pi A$ , при  $u \rightarrow 1$   $\tilde{\varepsilon} \rightarrow 0$ .

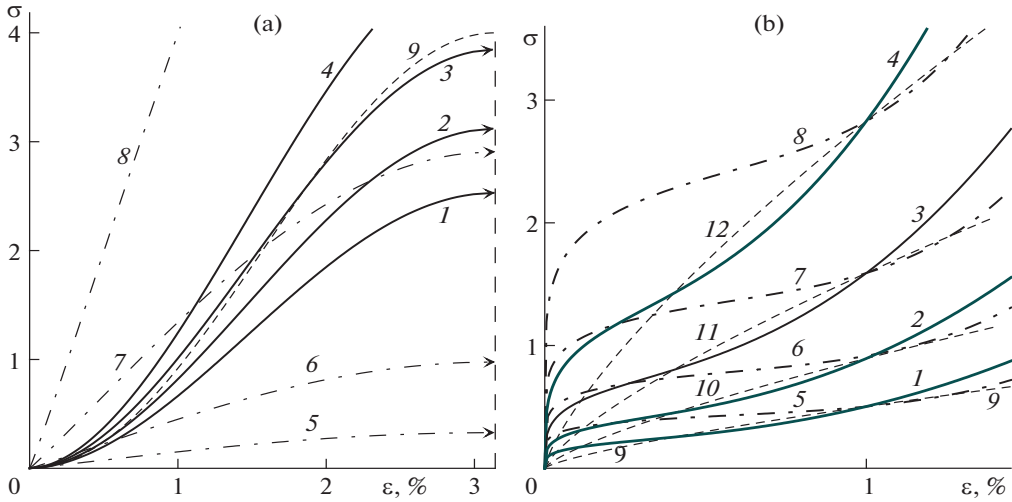
На фиг. 3а приведены ДД  $\sigma(\varepsilon, b)$  с разными СН  $b = 0.001; 0.01; 0.1; 1; 10$  (кривые 1–5) для модели с МФ (2.3) (она дает дробно-линейную зависимость Шестерикова-Юмашевой [64] для скорости ползучести),  $A = 0.5$ ,  $\sigma_* = 1$ , и ФП РеМ-3, т.е. ФП (2.2) с  $\alpha = 0$ ,  $\lambda = 0.1$ ,  $\beta = 1$ ,  $\gamma = 0.5$  (тогда  $\Pi(0) = \beta - \gamma \neq 0$ , время ретардации  $\tau_c = 1/\lambda = 10$ , время релаксации  $\tau = \tau_c(1 - \gamma/\beta) = 5$ ). У всех ДД мгновенный модуль  $E = \varphi'(0)/\Pi(0) = A^{-1}\sigma_*(\beta - \gamma)^{-1}$ , а длительный модуль  $E_\infty = 0$ . Так как у МФ  $\varphi$  вида (2.3) есть горизонтальная асимптота  $\sigma = \sigma_*$ , то каждая ДД обрывается в момент  $t_\omega = F(\sigma_*/b)$  ( $\varepsilon(t_\omega) = 0$ ) и имеет горизонтальную асимптоту  $y = \bar{\sigma}(b)$ , где напряжение течения  $\bar{\sigma} = bF(\sigma_*/b)$  – возрастающая функция СН ( $\bar{\sigma}(\infty) = \sigma_*/\Pi(0) = \sigma_*/(\beta - \gamma)$ ,  $\bar{\sigma}(0) = \sigma_*/\Pi(\infty) = \sigma_*/\beta$ ). При  $b \rightarrow \infty$  семейство ДД (монотонно) сходится к кривой  $\sigma = (\beta - \gamma)^{-1}\varphi(\varepsilon)$ , то есть  $\sigma(\varepsilon) = \sigma_*(\beta - \gamma)^{-1}(1 - e^{-\varepsilon/A})$ , а при  $b \rightarrow 0$  семейство ДД сходится



Фиг. 3

ся к кривой  $\sigma = \varphi(\varepsilon)/\beta$ , т.е.  $\sigma(\varepsilon) = \sigma_*\beta^{-1}(1 - e^{-\varepsilon/A})$  (штриховые кривые с маркерами  $\infty$  и 0); в секторе между ними лежат все ДД с  $b > 0$ . Три штрих-пунктирные кривые 6–8, выходящие за пределы описанного криволинейного сектора, – ДД модели с той же МФ  $\varphi$ , но с ФП Фойгта (ФП (2.2) с  $\beta = \gamma = 1$ ) для СН  $b = 0.01; 0.1; 1$ . При  $b \rightarrow 0$  семейство ДД модели с ФП Фойгта сходится к той же кривой  $\sigma = \varphi(\varepsilon)/\beta$  (ибо значение  $\beta$  такое же). Отличие от РеМ-3 (с  $\gamma < \beta$ ) состоит в том, что  $\Pi(0) = 0$  (модель Фойгта сингулярна) и потому  $E = \infty$  (касательные к ДД в т.  $\varepsilon = 0$  вертикальны), а при  $b \rightarrow \infty$  семейство ДД сходится к вертикальной прямой  $\varepsilon = 0$ . Штриховые прямые 9, 10 – предельные ДД для  $b \rightarrow \infty$  и  $b \rightarrow 0$  ( $\sigma = \varepsilon/(\beta - \gamma)$  и  $\sigma = \varepsilon/\beta$ ) в случае линейного ОС (когда  $\varphi(u) = u$ ).

На фиг. 3б приведены ДД с разными СН  $b = 0.01; 0.1; 1; 10$  (кривые 1–4) для модели с той же ФП РеМ-3, что и на фиг. 3а, и МФ  $\Phi(x) = A[\arcsin(x/C - 1) + 0.5\pi]$ ,  $x \in [0, 2C]$  ( $\varphi(\varepsilon) = C(1 - \cos(\varepsilon/A))$ ),  $\omega = \pi A$ ,  $\bar{x} = 2C$ ) с  $A = 1$ ,  $C = 1$ . Все ДД имеют нулевой мгновенный модуль  $E = \varphi'(0)/\Pi(0)$ , так как  $\varphi'(0) = 0$ , а  $\Pi(0) \neq 0$ . Поскольку  $\bar{x} < \infty$  и  $\Phi(\bar{x}) < \infty$ , то любая ДД обрывается (происходит разрушение) по достижению критической деформации  $\varepsilon_* = \omega = \pi A$  (постоянная не зависит от СН  $b$  и ФП  $\Pi(t)$ ), время разрушения  $t_\omega = F(\bar{x}/b)$  и предельное напряжение  $\sigma_\omega = bF(\bar{x}/b)$  зависят от СН  $b$  и ФП. При  $b \rightarrow \infty$  семейство ДД (монотонно) сходится к кривой  $\sigma = (\beta - \gamma)^{-1}\varphi(\varepsilon)$ , то есть  $\sigma = 2(1 - \cos \varepsilon)$ , а при  $b \rightarrow 0$  семейство ДД сходится к кривой  $\sigma = \varphi(\varepsilon)/\beta$ , то есть  $\sigma = 1 - \cos \varepsilon$  (штриховые кривые с маркерами  $\infty$  и 0); в секторе между ними лежат все ДД с  $b > 0$ . Четыре штрих-пунктирные кривые 5–8, выходящие за пределы описанного криволинейного сектора, – ДД модели с ФП Фойгта (при  $\beta = \gamma = 1$ ) и той же МФ  $\Phi(x)$  для тех же СН  $b = 0.01; 0.1; 1; 10$ . При  $b \rightarrow 0$  семейство ДД модели с ФП Фойгта сходится к той же кривой  $\sigma = \varphi(\varepsilon)/\beta$  (поскольку значение  $\beta$  то же самое), а при  $b \rightarrow \infty$  – к вертикальной прямой  $\varepsilon = 0$ .



Фиг. 4

На фиг. 4а приведены ДД для двух моделей с МФ  $\Phi(x) = A[\arcsin(x/C - 1) + 0.5\pi]$ ,  $x \in [0, 2C]$  (той же самой, что и на фиг. 3б) и ФП  $\Pi(t) = Bt^u$  с  $B = 0.5$  и двумя значениями показателя:  $u = 0.1$  (ДД 1–4) и  $u = 0.9$  (ДД 5–8). СН пробегают 3 порядка:  $b = 0.01; 0.1; 1; 10$ . Для  $\Pi(t) = Bt^u$  имеем  $F(x) = Hx^w$ , где  $w := (u + 1)^{-1} \in [0.5; 1)$ ,  $H := (wB)^{-w}$ , и ДД (4.1):  $\sigma(\epsilon, b) = bH(\varphi(\epsilon)/b)^w = Hb^{1-w}\varphi(\epsilon)^w$ . ДД с разными СН подобны, форма всех ДД определяется функцией  $\varphi(\epsilon)^w$ , абсцисса точки перегиба  $\tilde{\epsilon} = A \arccos u$  не зависит от СН, мгновенный модуль  $E$  равен нулю для всех  $u \in (0; 1)$ . Так как  $\bar{x} < \infty$  и  $\Phi(\bar{x}) < \infty$ , то любая ДД обрывается по достижению критической деформации  $\epsilon_* = \omega = \pi A$ . Зависимость ДД от СН – степенная с показателем  $1 - w \in (0; 0.5]$ . При  $b \rightarrow \infty$  семейство ДД модели с любым  $u \in (0; 1]$  монотонно сходится к вертикальной прямой  $\epsilon = 0$ , так как  $\Pi(0) = 0$ ; при  $b \rightarrow 0$  семейство ДД сходится к прямой  $\sigma = 0$ , так как  $\Pi(\infty) = \infty$ . При малых  $u$  модель становится слабо чувствительной к СН (ДД 1–4 для модели с  $u = 0.1$  лежат в заметно более узком секторе, чем ДД модели с  $u = 0.9$ ), а при  $u \rightarrow 0$  имеем  $w \rightarrow 1$ ,  $\tilde{\epsilon} \rightarrow 0.5\pi A$ ,  $\sigma(\epsilon, b) \rightarrow \varphi(\epsilon)/B$  (см. штриховую кривую 9).

На фиг. 4б приведены ДД при  $b = 0.001; 0.01; 0.1; 1$  для двух моделей с ФП  $\Pi(t) = t^{1/3}/3$  (тогда  $w = 3/4$ ,  $F(s) = 2^{3/2}s^{3/4}$ ) и двумя МФ  $\varphi(x) = \vartheta x^n + (1 - \vartheta)x^{1/n}$  вида (2.4),  $x \geq 0$ ,  $n > 1$ ,  $\vartheta \in (0; 1)$ , с разными значениями  $n$  и  $\vartheta$ : ДД 1–4 – для  $n = 3$ ,  $\vartheta = 0.5$ , ДД 5–8 – для  $n = 5$ ,  $\vartheta = 0.1$ . Уравнение ДД имеет вид  $\sigma = Hb^{1-w}\varphi(\epsilon)^w$ , т.е.  $\sigma(\epsilon, b) = 2^{3/2}b^{1/4}(\vartheta\epsilon^n + (1 - \vartheta)\epsilon^{1/n})^{3/4}$ . Все ДД имеют вертикальную касательную в нуле ( $E = \infty$ ), точку перегиба (ее абсцисса не зависит от СН  $b$ , так как для степенных ФП ДД подобны) и  $E_\infty = \infty$ . С ростом  $n$  ДД приобретает “площадку текучести”. При  $b \rightarrow \infty$  семейство ДД сходится к прямой  $\epsilon = 0$  (так как  $\Pi(0) = 0$ ); при  $b \rightarrow 0$  семейство ДД сходится к прямой  $\sigma = 0$ . Штриховые кривые 9–12 – ДД линейного ОС (1.2) с той же ФП при тех же скоростях  $b = 0.001; 0.01; 0.1; 1$ .

Формы ДД на фиг. 3а и 4б типичны для многих полимеров, асфальтобетонов, металлов и сплавов со скоростной чувствительностью [7–10, 32, 38–46, 63, 65–73]. ДД на фиг. 4а и 3б (с малым, но быстро растущим при очень малых деформациях касательным модулем и точкой перегиба) качественно воспроизводят поведение ДД эластомеров (каучуков, резин и т.п.), пенопластов и биологических тканей (связок, сухожилий, сосудов) [20–22, 25–27, 30–33, 63, 74, 75].

**Заключение.** В работе продолжен качественный анализ определяющего соотношения Работнова (1.1): при минимальных ограничениях на две МФ выведены в общем виде уравнения семейств теоретических кривых деформирования при постоянных скоростях нагружения, детально изучены их общие качественные свойства в зависимости от свойств МФ (см. теоремы 1–4). На основе их сравнения с типичными свойствами кривых испытаний реономных материалов выявлены необходимые ограничения на МФ, обеспечивающие адекватное описание комплекса основных реологических эффектов, наблюдаемых при нагружениях с постоянной скоростью, сферы влияния обеих МФ и ряд индикаторов применимости ОС. Обнаружены те эффекты, которые ОС (1.1) принципиально не может описать ни при каких МФ (например, зависимость формы кривых релаксации от уровня деформации, отрицательная скоростная чувствительность ДД и др.), и те, которые могут быть описаны при определенных дополнительных ограничениях, наложенных на МФ (например: выпуклость ДД или наличие у них точек перегиба, подобие ДД, существование мгновенной ДД, конечность мгновенного модуля, равенство нулю или отличие от нуля длительного модуля, разрушение при деформировании с постоянной СН, зависимость времени разрушения от уровня напряжения или СН и т.п.).

Проведенный анализ позволил сопоставить круг реологических явлений, которые ОС (1.1) может адекватно описывать, с арсеналом возможностей линейного ОС вязкоупругости, которое оно обобщает, указать как наследуемые свойства, так и дополнительные возможности нелинейного ОС по сравнению с линейным. Например, доказано, что: при любых МФ все ДД с постоянными скоростями нагружения  $\sigma(\epsilon, b)$  возрастают по  $\epsilon$  и по параметру  $b$  (то есть ДД смещаются вверх с ростом СН); однако их мгновенный и длительный (касательные) модули не зависят от скоростей; если модель регулярна, то при стремлении СН к бесконечности семейство ДД сходится на луче  $\epsilon \geq 0$  к кривой  $\sigma = \varphi(\epsilon)/\Pi(0)$  (мгновенной ДД), а при стремлении СН к нулю они сходятся (сверху) к кривой  $\sigma = \varphi(\epsilon)/\Pi(\infty)$  (см. теоремы 1–4). Все перечисленные свойства ДД нелинейного ОС (1.1) унаследованы от линейного ОС вязкоупругости (1.2) [56, 57] (в этом случае мгновенная и равновесная ДД прямолинейны). Но, в отличие от ДД линейного ОС, которые всегда выпуклы вверх, ДД ОС (1.1) могут иметь участки выпуклости вниз (в частности, в окрестности нуля) и точки перегиба, если они имеют у МФ  $\varphi(u)$ , и горизонтальную асимптоту, если она есть у  $\varphi$ .

В последующих работах будут исследованы качественные свойства остальных квазистатических кривых, порождаемых ОС (1.1): кривых деформирования при постоянных и кусочно-постоянных скоростях деформации, кривых релаксации и ползучести с произвольной начальной стадией нагружения, условий описания немонотонности и знакопеременности коэффициента Пуассона, влияния гидростатического давления на кривые ползучести и деформирования, эффекта Маллинза, циклической ползучести, рэтчетинга, приспособляемости и других эффектов. На основе этого анализа будут составлены более полные списки индикаторов применимости ОС (1.1) и его возможностей по моделированию комплексного поведения классов реономных материалов, проявляющих нелинейную наследственность, скоростную чувствительность и разносопротивляемость.

Работа выполнена при финансовой поддержке РФФИ (грант № 17-08-01146\_a).

## СПИСОК ЛИТЕРАТУРЫ

1. *Работнов Ю.Н.* Равновесие упругой среды с последствием // ПММ. 1948. Т. 12. № 1. С. 53–62.
2. *Наместников В.С., Работнов Ю.Н.* О наследственных теориях ползучести // ПМТФ. 1961. Т. 2. № 4. С. 148–150.
3. *Работнов Ю.Н.* Ползучесть элементов конструкций. М.: Наука, 1966. 752 с.
4. *Работнов Ю.Н., Паперник Л.Х., Степаньчев Е.И.* Приложение нелинейной теории наследственности к описанию временных эффектов в полимерных материалах // Механика полимеров. 1971. № 1. С. 74–87.
5. *Дергунов Н.Н., Паперник Л.Х., Работнов Ю.Н.* Анализ поведения графита на основе нелинейной наследственной теории // ПМТФ. 1971. № 2. С. 76–82.
6. *Работнов Ю.Н., Паперник Л.Х., Степаньчев Е.И.* Нелинейная ползучесть стеклопластика ТС8/3-250 // Механика полимеров. 1971. № 3. С. 391–397.
7. *Работнов Ю.Н., Паперник Л.Х., Степаньчев Е.И.* О связи характеристик ползучести стеклопластиков с кривой мгновенного деформирования // Механика полимеров. 1971. № 4. С. 624–628.
8. *Работнов Ю.Н., Суворова Ю.В.* О законе деформирования металлов при одноосном нагружении // Изв. АН СССР. МТТ. 1972. № 4. С. 41–54.
9. *Работнов Ю.Н.* Элементы наследственной механики твердых тел. М.: Наука, 1977. 384 с.
10. *Мельшанов А.Ф., Суворова Ю.В., Хазанов С.Ю.* Экспериментальная проверка определяющего уравнения для металлов при нагружении и разгрузке // Изв. АН СССР. МТТ. 1974. № 6. С. 166–170.
11. *Суворова Ю.В.* Нелинейные эффекты при деформировании наследственных сред // Механика полимеров. 1977. № 6. С. 976–980.
12. *Осокин А.Е., Суворова Ю.В.* Нелинейное определяющее уравнение наследственной среды и методика определения его параметров // ПММ. 1978. Т. 42. № 6. С. 1107–1114.
13. *Суворова Ю.В., Алексеева С.И.* Нелинейная модель изотропной наследственной среды для случая сложного напряженного состояния // Механика композитных материалов. 1993. № 5. С. 602–607.
14. *Суворова Ю.В., Алексеева С.И.* Инженерные приложения модели наследственного типа к описанию поведения полимеров и композитов с полимерной матрицей // Заводская лаборатория. Диагностика материалов. 2000. Т. 66. № 5. С. 47–51.
15. *Алексеева С.И.* Модель нелинейной наследственной среды с учетом температуры и влажности // ДАН. 2001. Т. 376. № 4. С. 471–473.
16. *Мосин А.В.* Вычисление параметров нелинейного определяющего уравнения наследственного типа // Проблемы машиноведения и надежности машин. 2002. № 2. С. 83–88.
17. *Суворова Ю.В.* О нелинейно-наследственном уравнении Ю.Н. Работнова и его приложениях // Изв. РАН. МТТ. 2004. № 1. С. 174–181.
18. *Алексеева С.И., Фроня М.А., Викторова И.В.* Анализ вязкоупругих свойств полимерных композитов с углеродными нанонаполнителями // Композиты и наноструктуры. 2011. № 2. С. 28–39.
19. *Алексеева С.И., Викторова И.В., Фроня М.А.* Развитие наследственной модели Работнова и анализ деформационных характеристик композитов // Труды конференции “Наследственная механика деформирования и разрушения твердых тел – научное наследие Ю.Н. Работнова”. М.: Изд-во ИМАШ РАН, 2014. С. 11–17.
20. *Fung Y.C.* Stress-strain history relations of soft tissues in simple elongation. In: Biomechanics, Its Foundations and Objectives (ed. by Fung Y.C.). New Jersey: Prentice-Hall, Englewood Cliffs, 1972. P. 181–208.
21. *Фанг Я.Ч.* Математические модели зависимости напряжение–деформация для живых мягких тканей // Механика полимеров. 1975. № 5. С. 850–867.
22. *Woo S. L.-Y.* Mechanical properties of tendons and ligaments – I. Quasi-static and nonlinear viscoelastic properties // Biorheology. 1982. V. 19. P. 385–396.
23. *Sauren A.A., Rousseau E.P.* A concise sensitivity analysis of the quasi-linear viscoelastic model proposed by Fung // J. Biomech. Eng. 1983. V. 105. P. 92–95.
24. *Nigul I., Nigul U.* On algorithms of evaluation of Fung’s relaxation function parameters // J. Biomech. 1987. V. 20. № 4. P. 343–352.
25. *Fung Y.C.* Biomechanics. Mechanical Properties of Living Tissues. New York: Springer-Verlag, 1993. 568 p.
26. *Funk J.R., Hall G.W., Crandall J.R., Pilkey W.D.* Linear and quasi-linear viscoelastic characterization of ankle ligaments // J. Biomech. Eng. 2000. V. 122. P. 15–22.

27. *Abramowitch S.D., Woo S.L.-Y.* An improved method to analyze the stress relaxation of ligaments following a finite ramp time based on the quasi-linear viscoelastic theory // *J. Biomech. Eng.* 2004. V. 126. P. 92–97.
28. *Yang W., Fung T.C., Chian K.S., Chong C.K.* Viscoelasticity of Esophageal Tissue and Application of a QLV model // *J. Biomech. Engineering.* 2006. V. 128. P. 909–916.
29. *Nekouzadeh A., Pryse K.M., Elson E.L., Genin G.M.* A simplified approach to quasi-linear viscoelastic modeling // *J. Biomechanics.* 2007. V. 40. № 14. P. 3070–3078.
30. *De Frate L.E., Li G.* The prediction of stress-relaxation of ligaments and tendons using the quasi-linear viscoelastic model // *Biomechanics and Modeling in Mechanobiology.* 2007. V. 6. № 4. P. 245–251.
31. *Duenwald S.E., Vanderby R., Lakes R.S.* Constitutive equations for ligament and other soft tissue: evaluation by experiment // *Acta Mechanica.* 2009. V. 205. P. 23–33.
32. *Lakes R.S.* Viscoelastic Materials. Cambridge: Cambridge Univ. Press, 2009. 461 p.
33. *Duenwald S.E., Vanderby R., Lakes R.S.* Stress relaxation and recovery in tendon and ligament: Experiment and modeling // *Biorheology.* 2010. V. 47. P. 1–14.
34. *Nekouzadeh A., Genin G.M.* Adaptive Quasi-Linear Viscoelastic Modeling. In “Studies in Mechanobiology, Tissue Engineering and Biomaterials. VI.10”. Berlin Heidelberg: Springer, 2013. P. 47–83.
35. *Karimi A., Navidbakhsh M.* Mechanical properties of PVA material for tissue engineering applications // *Materials Technology.* 2014. V. 29. № 2. P. 90–100.
36. *De Pascalis R., Abrahams I.D., Parnell W.J.* On nonlinear viscoelastic deformations: a reappraisal of Fung’s quasi-linear viscoelastic model // *Proc. R. Soc. A.* 2014. V. 470. 20140058. DOI: 10.1098/rsra.2014.0058
37. *Babaei B., Abramowitch S.D. et al.* A discrete spectral analysis for determining quasi-linear viscoelastic properties of biological materials // *J. Royal. Soc. Interface.* 2015. V. 12. 20150707. DOI: 10.1098/rsif.2015.0707
38. *Коларов Д., Балтов А., Бончева Н.* Механика пластических сред. М.: Мир, 1979. 304 с.
39. *Гольдман А.Я.* Прогнозирование деформационно-прочностных свойств полимерных и композиционных материалов. Л.: Химия, 1988. 272 с.
40. *Drozdov A.D.* Mechanics of viscoelastic solids. N.-Y.: Wiley, 1998. 484 p.
41. *Адамов А.А., Матвеев В.П., Труфанов Н.А., Шардаков И.Н.* Методы прикладной вязкоупругости. Екатеринбург: Изд-во УрО РАН, 2003. 411 с.
42. *Betten J.* Creep Mechanics. Berlin, Heidelberg: Springer-Verlag, 2008. 367 p.
43. *Segal V.M., Beyerlein I.J., Tome C.N., Chuvil’deev V.N., Kopylov V.I.* Fundamentals and Engineering of Severe Plastic Deformation. N.Y.: Nova Science Pub. Inc., 2010. 542 p
44. *Brinson H.F., Brinson L.C.* Polymer Engineering Science and Viscoelasticity. Springer Science & Business Media, 2008. 446 p.
45. *Christensen R.M.* Mechanics of Composite Materials. N.Y.: Dover Publications, 2012. 384 p.
46. *Bergstrom J.S.* Mechanics of Solid Polymers. Theory and Computational Modeling. Elsevier, William Andrew, 2015. 520 p.
47. *Волков И.А., Игумнов Л.А., Коротких Ю.Г.* Прикладная теория вязкопластичности. Н. Новгород: Изд-во ННГУ, 2015. 318 с.
48. *Локощенко А.М.* Ползучесть и длительная прочность металлов. М.: Физматлит, 2016. 504 с.
49. *Хохлов А.В.* Анализ общих свойств кривых ползучести при ступенчатом нагружении, порождаемых нелинейным соотношением Работнова для вязкоупругопластичных материалов // *Вестник МГТУ им. Н.Э. Баумана. Сер. Естеств. науки.* 2017. № 3. С. 93–123.
50. *Хохлов А.В.* Асимптотика кривых ползучести, порожденных нелинейной теорией наследственности Работнова при кусочно-постоянных нагружениях, и условия затухания памяти // *Вестник Московского университета. Серия 1: Математика. Механика.* 2017. № 5. С. 26–31.
51. *Khokhlov A.V.* Analysis of properties of ramp stress relaxation curves produced by the Rabotnov non-linear hereditary theory // *Mechanics of Composite Materials.* 2018. V. 54. № 4. P. 473–486.
52. *Хохлов А.В.* Моделирование зависимости кривых ползучести при растяжении и коэффициента Пуассона реономных материалов от гидростатического давления с помощью нелинейно-наследственного соотношения Работнова // *Механика композиционных материалов и конструкций.* 2018. Т. 24. № 3. С. 407–436.
53. *Хохлов А.В.* Определяющее соотношение для реологических процессов: свойства теоретических кривых ползучести и моделирование затухания памяти // *Изв. РАН. МТТ.* 2007. № 2. С. 147–166.
54. *Хохлов А.В.* Определяющее соотношение для реологических процессов с известной историей нагружения. Кривые ползучести и длительной прочности // *Изв. РАН. МТТ.* 2008. № 2. С. 140–160.

55. *Хохлов А.В.* Критерии разрушения при ползучести, учитывающие историю деформирования, и моделирование длительной прочности // Изв. РАН. МТТ. 2009. № 4. С. 121–135.
56. *Хохлов А.В.* Характерные особенности семейств кривых деформирования линейных моделей вязкоупругости // Проблемы прочности и пластичности. 2015. Вып. 77. № 2. С. 139–154.
57. *Хохлов А.В.* Качественный анализ общих свойств теоретических кривых линейного определяющего соотношения вязкоупругости // Наука и образование. МГТУ им. Н.Э. Баумана. Электрон. журн. 2016. № 5. С. 187–245. Режим доступа: <http://technomag.edu.ru/doc/840650.html>.
58. *Хохлов А.В.* Двусторонние оценки для функции релаксации линейной теории наследственности через кривые релаксации при гауп-деформировании и методики ее идентификации // Изв. РАН. МТТ. 2018. № 3. С. 81–104.
59. *Хохлов А.В.* Анализ общих свойств кривых ползучести при циклических ступенчатых нагружениях, порождаемых линейной теорией наследственности // Вестник Самарского гос. техн. ун-та. Сер. Физ.-мат. науки. 2017. Т. 21. № 2. С. 326–361.
60. *Хохлов А.В.* Нелинейная модель вязкоупругопластичности типа Максвелла: моделирование влияния температуры на кривые деформирования, релаксации и ползучести // Вестник Самарского гос. техн. ун-та. Сер. физ.-мат. науки. 2017. Т. 21. № 1. С. 160–179.
61. *Хохлов А.В.* Нелинейная модель вязкоупругопластичности типа Максвелла: свойства семейства кривых релаксации и ограничения на материальные функции // Вестник МГТУ им. Н.Э. Баумана. Сер. Естественные науки. 2017. № 6. С. 31–55.
62. *Хохлов А.В.* Идентификация нелинейной модели упруговязкопластичности типа Максвелла по диаграммам нагружения с постоянными скоростями // Деформация и разрушение материалов. 2018. № 4. С. 2–10.
63. *Хохлов А.В.* Свойства диаграмм нагружения и разгрузки, порождаемых нелинейным определяющим соотношением типа Максвелла для реономных материалов // Вестник Самарского гос. техн. ун-та. Сер. Физ.-мат. науки. 2018. Т. 22. № 2. С. 293–324. doi: 10.14498/vsgtu1573
64. *Шестериков С.А., Юмашева М.А.* Конкретизация уравнения состояния при ползучести // Изв. АН СССР. МТТ. 1984. № 1. С. 86–91.
65. *Khan A.S., Lopez-Pamies O.* Time and temperature dependent response and relaxation of a soft polymer // International Journal of Plasticity. 2002. V. 18. P. 1359–1372.
66. *Krempf E., Khan F.* Rate (time)-dependent deformation behavior: an overview of some properties of metals and solid polymers // Int. J. Plasticity. 2003. V. 19. P. 1069–1095
67. *McClung A.J.W., Ruggles-Wrenn M.B.* The rate (time)-dependent mechanical behavior of the PMR-15 thermoset polymer at elevated temperature // Polymer Testing. 2008. V. 27. P. 908–914.
68. *Белякова Т.А., Зезин Ю.П., Ломакин Е.В.* Термовязкогиперупругое поведение эластомерных материалов, модифицированных наночастицами наполнителя // Изв. РАН. МТТ. 2010. № 4. С. 63–81.
69. *Вильдеман В.Э., Третьяков М.П. и др.* Экспериментальные исследования свойств материалов при сложных термомеханических воздействиях. М.: Физматлит, 2012. 209 с.
70. *Khan F., Yeakle C.* Experimental investigation and modeling of non-monotonic creep behavior in polymers. // Int. J. Plasticity. 2011. V. 27. P. 512–521.
71. *Kastner M. et al.* Inelastic material behavior of polymers – Experimental characterization, formulation and implementation of a material model // Mech. Mater. 2012. V. 52. P. 40–57.
72. *Yun K.-S., Park J.-B., Jung G.-D., Youn S.-K.* Viscoelastic constitutive modelling of solid propellant with damage // Int. J. Solids and Structures. 2016. V. 34. P. 118–127.
73. *Kim J.W., Medvedev G.A., Caruthers J.M.* The response of a glassy polymer in a loading-unloading deformation: the stress memory experiment // Polymer. 2013. V. 54. № 21. P. 5993–6002.
74. *MacHado G., Chagnon G., Favier D.* Analysis of the isotropic models of the Mullins effect based on filled silicone rubber experimental results // Mech. Mater. 2010. V. 42. P. 841–851.
75. *Fernandes V.A., De Focatis D.S.* The role of deformation history on stress relaxation and stress memory of filled rubber // Polymer Testing. 2014. V. 40. P. 124–132.